



# EFEITO PURCELL NA EMISSÃO ESPONTÂNEA DE UM E DOIS FÓTONS

1

**Defesa de dissertação de mestrado**

**Mestrando: Yuri Muniz de Souza**

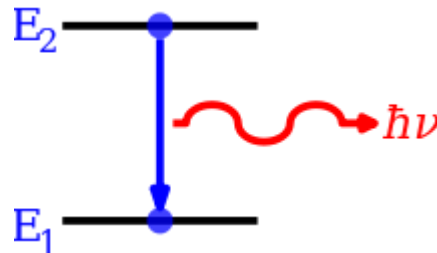
**Orientador: Carlos Farina de Souza**

**Co-orientador: Wilton Júnior de Melo Kort-Kamp**

**14 de Agosto de 2018**

## EMISSÃO ESPONTÂNEA (EE)

- Átomo excitado, mesmo que isolado de todos os corpos no universo, acaba decaindo para o estado fundamental.



- Razão: Um átomo, mesmo no vácuo, jamais deixa de ser afetado pelas flutuações quânticas do campo.
- Não pode ser entendido somente com mecânica quântica usual, pois nesse contexto o estado excitado é estacionário.
- Porém, na eletrodinâmica quântica (EDQ), um átomo excitado + zero fóton não é um estado estacionário do hamiltoniano do sistema átomo-campo

# EE

- O fenômeno é muito presente em nossas vidas. Praticamente toda a luz que vemos é proveniente de emissão espontânea!



# UMA BREVE HISTÓRIA

- Einstein em 1916 escreveu uma carta para seu amigo Michele Besso:

*“ A splendid light has dawned  
on me about the absorption  
and emission of radiation”*

- Coeficientes A e B de **Einstein (1917)**: introduz a ideia emissão espontânea e estimulada e, com isso, reobtem o espectro de Planck.

## UMA BREVE HISTÓRIA

- Einstein calculou ainda a razão entre as taxas de emissão espontânea e estimulada que, para o espectro visível é (para temperatura ambiente):

$$\frac{A_{21}}{B_{21}u(\omega)} = e^{\hbar\omega/k_B T} - 1 \approx 10^{39}.$$

- EE é muito mais comum!
- Mesmo para uma fonte térmica como o **sol** (T = 6000K), a taxa de EE pode ser até **centenas** de vezes maior que a taxa de emissão estimulada.

## UMA BREVE HISTÓRIA

- **Dirac (1927):** “*The quantum theory of the emission and absorption of radiation*”.
- Obteve a taxa de emissão espontânea de um átomo utilizando a EDQ.

$$\Gamma_o = \frac{|\mathbf{d}_{eg}|^2 \omega_{eg}^3}{3\pi\epsilon_o \hbar c^3}.$$

- Na verdade, nesse artigo ele desenvolve por completo o formalismo da EDQ **não-relativística** e aplica em processos de emissão e absorção da luz.

## O EFEITO PURCELL

- Edward Mills **Purcell** (1946) descobre que objetos na vizinhança de sistemas atômicos alteram a taxa de EE
- Razão: a presença de objetos altera as condições de contorno (CC) sobre o campo eletromagnético e, conseqüentemente, o acoplamento átomo-campo.



# O EFEITO PURCELL

- **1966 – Drexhage** realiza a primeira verificação experimental do fenômeno na EE dipolar de uma molécula;
- **1969 – Morawitz** calcula a taxa de EE de um átomo próximo a uma placa perfeitamente condutora;
- **1970 – Barton** estuda o decaimento de um átomo entre duas placas condutoras;
- **1985 – Hulet, Hilfer e Kleppner** realizam o primeiro experimento onde se observa a supressão da EE
- Hoje o efeito Purcell é estudado em geometrias não-triviais e em novos materiais (cristais fotônicos, ...).

# CÁLCULO DA TAXA DE EE PELA EDQ

- A taxa de decaimento espontâneo de um átomo pode ser calculada **perturbativamente**. O hamiltoniano não perturbado é dado por  $H_o = H_A + H_F$  e o de **interação** por

$$H_{int} = -\mathbf{d} \cdot \mathbf{E}(\mathbf{R}) = -i \sum_{\mathbf{k}p} \sqrt{\frac{\hbar\omega_k}{2\epsilon_o}} \left[ a_{\mathbf{k}p} \mathbf{d} \cdot \mathbf{A}_{\mathbf{k}p}(\mathbf{R}) - a_{\mathbf{k}p}^\dagger \mathbf{d} \cdot \mathbf{A}_{\mathbf{k}p}^*(\mathbf{R}) \right].$$

- Os modos do campo satisfazem à equação de **Helmholtz** sujeitos às **CC** impostas pela vizinhança do átomo.
- Como o conjunto de estados de um fóton é contínuo, podemos utilizar a **regra de ouro de Fermi** para obter a taxa de transição, que em primeira ordem é dada por

$$w_{i \rightarrow f} = \frac{2\pi}{\hbar^2} |\langle f | H_{int} | i \rangle|^2 \delta(\omega_{fi}).$$

# CÁLCULO DA TAXA DE EE PELA EDQ

- Obtemos então a taxa de EE de um átomo próximo a uma superfície qualquer,

$$\Gamma(\mathbf{R}) = \frac{\pi}{\epsilon_0 \hbar} \sum_{\mathbf{k}p} \omega_k \left| \underline{\mathbf{d}}_{eg} \cdot \mathbf{A}_{\mathbf{k}p}(\mathbf{R}) \right|^2 \delta(\omega_k - \omega_{eg}).$$

- Utilizando os modos do espaço livre,  $\mathbf{A}_{\mathbf{k}p}(\mathbf{R}) = \frac{e^{i\mathbf{k} \cdot \mathbf{R}}}{\sqrt{V}} \mathbf{e}_{\mathbf{k}p}$ , reobtemos o resultado de Dirac.

- Por se tratar de um cálculo perturbativo, a regra de ouro de Fermi é válida somente se

$$t \ll \frac{1}{\Gamma}.$$

- Mas... **Aproximação de Weisskopf-Wigner (1930):**

$$\underline{|c_i(t)|^2} = e^{-\Gamma t}.$$

# REGRAS DE SELEÇÃO PARA A EE DE UM FÓTON

$$\Gamma(\mathbf{R}) = \frac{\pi}{\epsilon_0 \hbar} \sum_{\mathbf{k}p} \omega_k |\mathbf{d}_{eg}| \cdot |\mathbf{A}_{\mathbf{k}p}(\mathbf{R})|^2 \delta(\omega_k - \omega_{eg}).$$

- A taxa de EE de um fóton é diretamente proporcional a  $|\mathbf{d}_{eg}|^2$ .
- Como  $\mathbf{d} = \sum_{\alpha} e r_{\alpha}$ , em transições eletrônicas devemos calcular 
$$\langle n'l'm' | \mathbf{r} | nlm \rangle = \int_0^{\infty} dr r^3 R_{n'l'}^*(r) R_{nl}(r) \int d\Omega \hat{\mathbf{r}}(\theta, \phi) Y_{l'm'}^*(\theta, \phi) Y_{lm}(\theta, \phi).$$
- Esse elemento de matriz é não nulo somente se 
$$\Delta l := l - l' = \pm 1 \quad , \quad \Delta m := m - m' = 0, \pm 1.$$
- Esse resultado está diretamente ligado à **conservação do momento angular**, já que o fóton tem **spin 1**.

## EE E DENSIDADE DE ESTADOS

$$\Gamma(\mathbf{R}) = \frac{\pi}{\epsilon_0 \hbar} \sum_{\mathbf{k}p} \omega_k |\mathbf{d}_{eg} \cdot \mathbf{A}_{\mathbf{k}p}(\mathbf{R})|^2 \delta(\omega_k - \omega_{eg}).$$

- Por outro lado, a taxa de EE depende do acoplamento com o campo EM. Essa dependência pode ser melhor visualizada definindo a densidade local de estados parcial,

$$\rho_l^{\hat{\mathbf{n}}}(\mathbf{r}, \omega) = \sum_{\mathbf{k}p} \hat{\mathbf{n}} \cdot [\mathbf{A}_{\mathbf{k}p}(\mathbf{r}) \mathbf{A}_{\mathbf{k}p}^*(\mathbf{r})] \cdot \hat{\mathbf{n}}^* \delta(\omega_k - \omega).$$

- Com isso,

$$\Gamma = \frac{\pi |d_{eg}|^2 \omega_{eg}}{\epsilon_0 \hbar} \rho_l^{\hat{\mathbf{n}}_{eg}}(\mathbf{R}, \omega_{eg}).$$

# ÁTOMO PRÓXIMO A UMA PLACA CONDUTORA

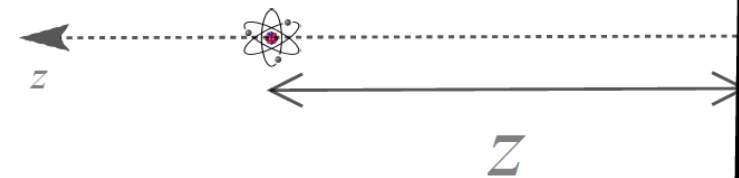
- Condições de contorno:

$$\mathbf{E} \times \hat{\mathbf{n}} \Big|_{placa} = 0 \text{ e } \mathbf{B} \cdot \hat{\mathbf{n}} \Big|_{placa} = 0$$

- Modos do campo:

$$\mathbf{A}_{\mathbf{k},1}(\mathbf{r}) = \sqrt{\frac{2}{V}} \text{sen}(k_z z) e^{i\mathbf{k}_{\parallel} \cdot \mathbf{r}} (\hat{\mathbf{k}}_{\parallel} \times \hat{\mathbf{z}}),$$

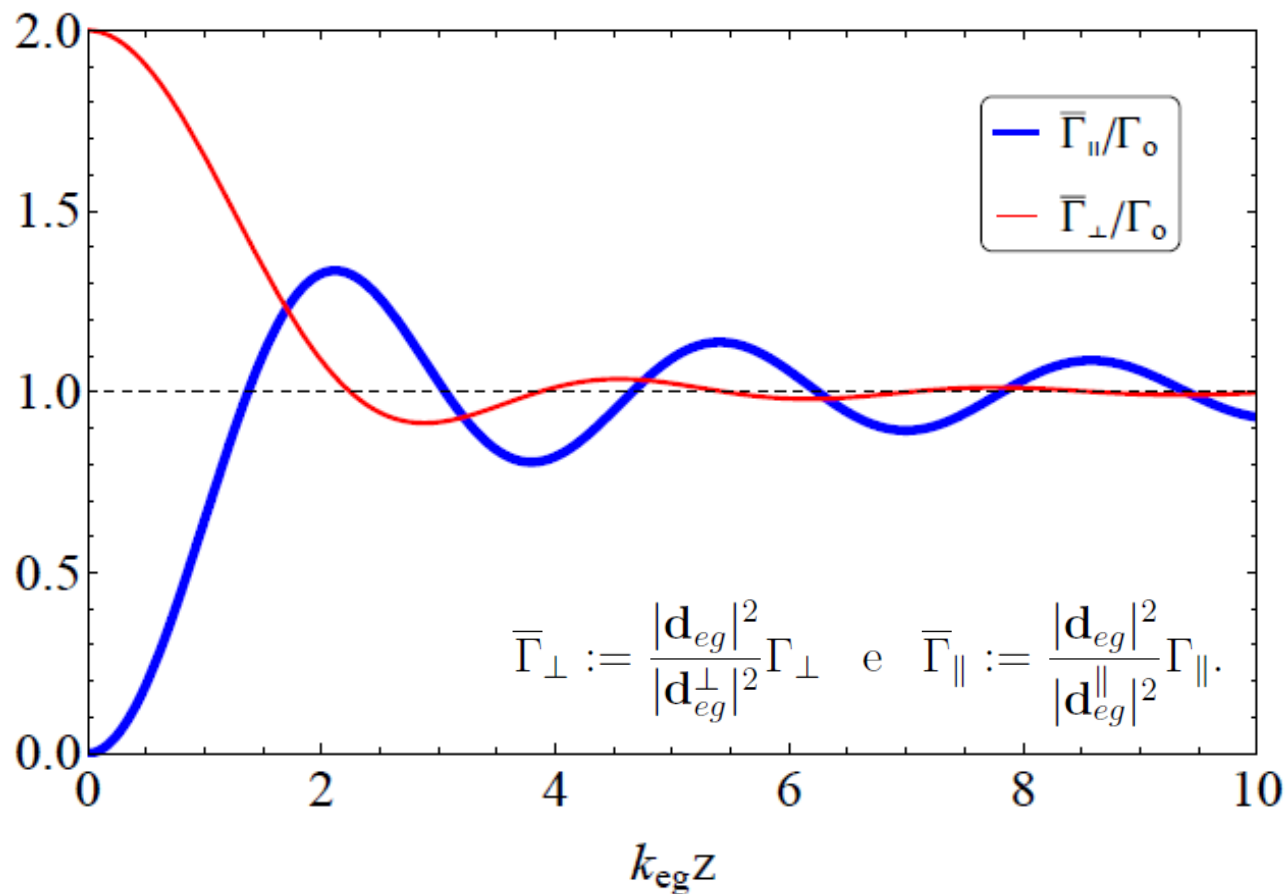
$$\mathbf{A}_{\mathbf{k},2}(\mathbf{r}) = \sqrt{\frac{2}{V}} \frac{1}{k} [k_{\parallel} \cos(k_z z) \hat{\mathbf{z}} - ik_z \text{sen}(k_z z) \hat{\mathbf{k}}_{\parallel}] e^{i\mathbf{k}_{\parallel} \cdot \mathbf{r}}$$



# ÁTOMO PRÓXIMO A UMA PLACA CONDUTORA

- Devido à simetria do sistema, é possível separar a taxa de EE na soma

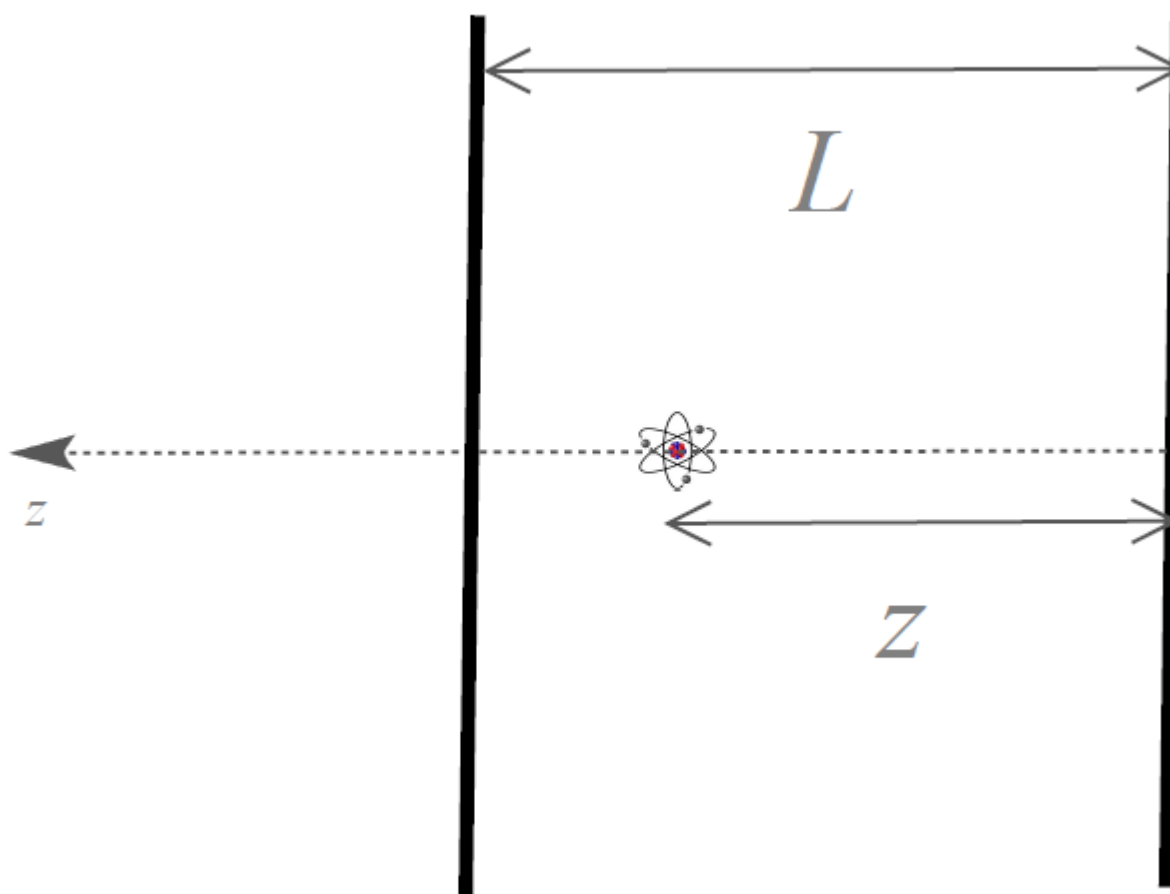
$$\Gamma = \Gamma_{\parallel} + \Gamma_{\perp}.$$



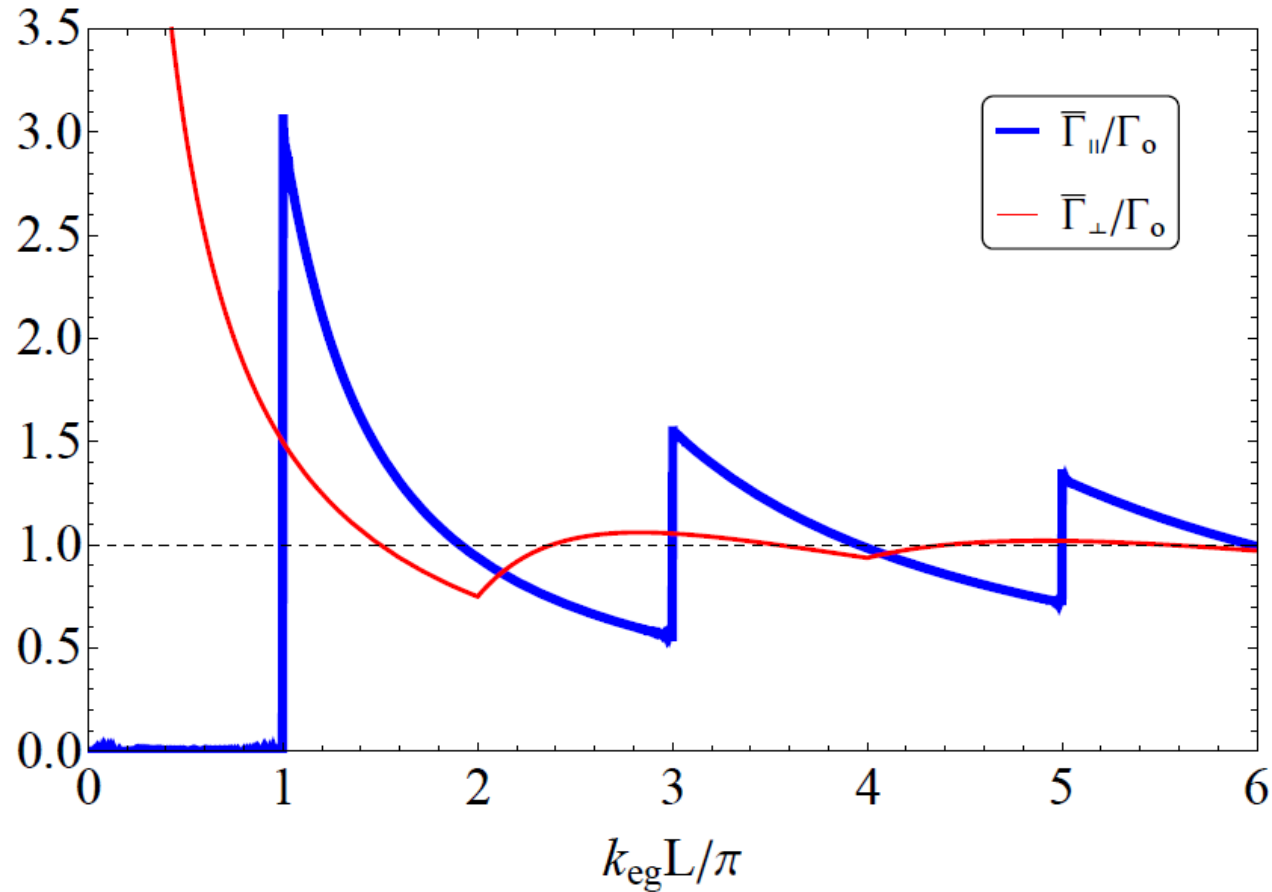
# ÁTOMO ENTRE DUAS PLACAS CONDUTORAS

- Os modos do campo são os mesmos, porém

$$k_z^n = \frac{n\pi}{L}, n \in \mathbb{N}.$$



# ÁTOMO ENTRE DUAS PLACAS CONDUTORAS



- A EE de um fóton pode ser suprimida!

# EMISSÃO ESPONTÂNEA E O DIÁDICO DE GREEN

- Pelas equações de Maxwell, pode-se mostrar que

$$\nabla \times \nabla \times \tilde{\mathbf{E}}(\mathbf{r}, \omega) - \frac{\omega^2}{c^2} \tilde{\mathbf{E}}(\mathbf{r}, \omega) = i\omega\mu_o \tilde{\mathbf{j}}(\mathbf{r}, \omega).$$

- Essa é a equação de **Helmholtz vetorial** (não-homogênea). Seu resolvente é um diádico e satisfaz

$$\nabla \times \nabla \times \mathbb{G}(\mathbf{r}, \mathbf{r}', \omega) - \frac{\omega^2}{c^2} \mathbb{G}(\mathbf{r}, \mathbf{r}', \omega) = \mathbb{I} \delta(\mathbf{r} - \mathbf{r}').$$

- Os modos do campo são soluções da equação de Helmholtz homogênea, o que permite escrever o diádico de Green em termos dos modos. Com isso,

$$\frac{\Gamma}{\Gamma_o} = \frac{6\pi c}{\omega_{eg}} \hat{\mathbf{n}}_{eg}^* \cdot [\text{Im} \mathbb{G}(\mathbf{R}, \mathbf{R}, \omega_{eg})] \cdot \hat{\mathbf{n}}_{eg}.$$

- É conveniente escrever  $\mathbb{G}(\mathbf{r}, \mathbf{r}', \omega) = \mathbb{G}^{(0)}(\mathbf{r}, \mathbf{r}', \omega) + \mathbb{G}^{(sca)}(\mathbf{r}, \mathbf{r}', \omega)$ , de forma que

$$\frac{\Gamma}{\Gamma_o} = 1 + \frac{6\pi c}{\omega_{eg}} \hat{\mathbf{n}}_{eg}^* \cdot [\text{Im} \mathbb{G}^{(sca)}(\mathbf{R}, \mathbf{R}, \omega_{eg})] \cdot \hat{\mathbf{n}}_{eg}.$$

# EE E RADIAÇÃO DE DIPOLO ELÉTRICO

- O diádico de Green pode ser escrito em termos das amplitudes de campos elétricos gerados por dipolos elétricos puntiformes.

$$\mathbb{G}(\mathbf{r}, \mathbf{r}', \omega) = \frac{1}{\mu_0 \omega^2 p} \begin{bmatrix} \mathbf{E}_{p\hat{x}}(\mathbf{r}) & \mathbf{E}_{p\hat{y}}(\mathbf{r}) & \mathbf{E}_{p\hat{z}}(\mathbf{r}) \end{bmatrix}.$$

- Sabendo isso, é possível escrever

$$\frac{\Gamma}{\Gamma_o} = 1 + \frac{6\pi\epsilon_o c^3}{\omega_{eg}^3 p} \text{Im} \left[ \hat{\mathbf{n}}_{eg} \cdot \mathbf{E}_{p\hat{\mathbf{n}}_{eg}}^{(sca)}(\mathbf{R}) \right].$$

- Mapeamos o problema do **cálculo da taxa de EE** de um átomo próximo a uma superfície em um problema de **reflexão do campo elétrico gerado por um dipolo elétrico** pela mesma superfície.

# EE DE UM ÁTOMO PRÓXIMO A UM MEIO DIELÉTRICO SEMI-INFINITO

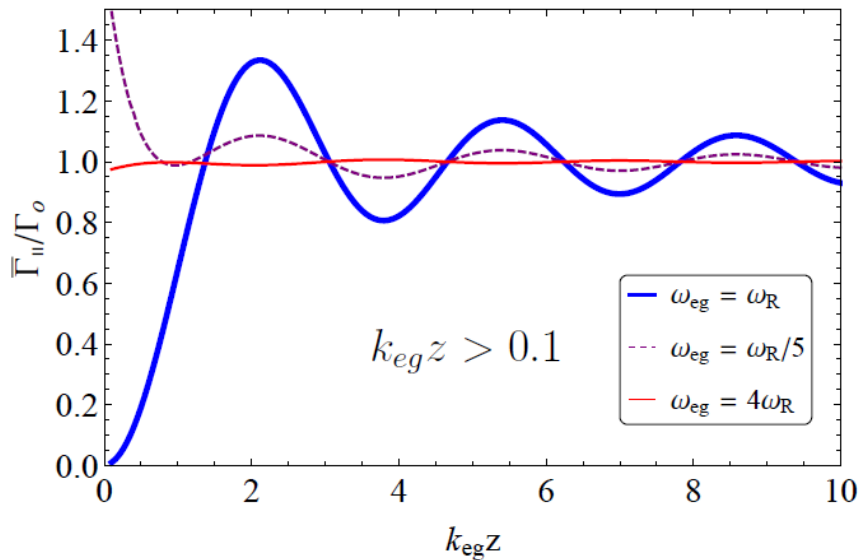
- O problema da reflexão de uma onda EM por um meio homogêneo e semi-infinito é conhecido e leva às conhecidas **equações de Fresnel**.
- Por simplicidade, usamos o **modelo de Lorentz** para o meio material,

$$\frac{\epsilon(\omega)}{\epsilon_0} = 1 + \sum_j \frac{\omega_{pj}^2}{\omega_{Rj}^2 - \omega^2 - i\omega/\tau_j}.$$

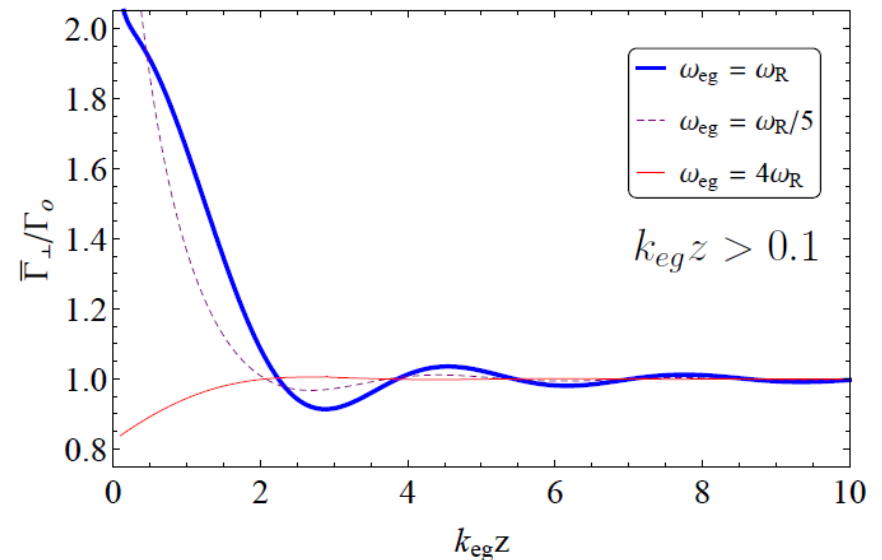
- Como função da distância, a taxa de EE possui dois regimes: campo próximo e campo distante.
- O regime de **campo próximo** é caracterizado por um grande aumento da taxa de decaimento, que se dá majoritariamente pela emissão de ondas evanescentes.
- Veremos a seguir gráficos da taxa de EE apenas no regime de **campo distante**.

# EE DE UM ÁTOMO PRÓXIMO A UM MEIO DIELÉTRICO

**a)**

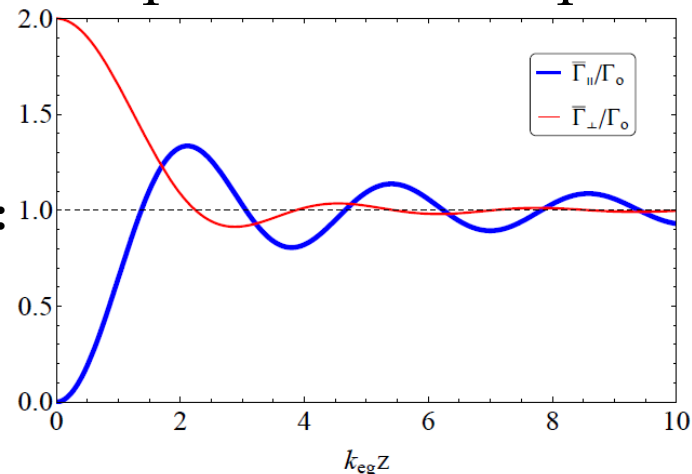


**b)**

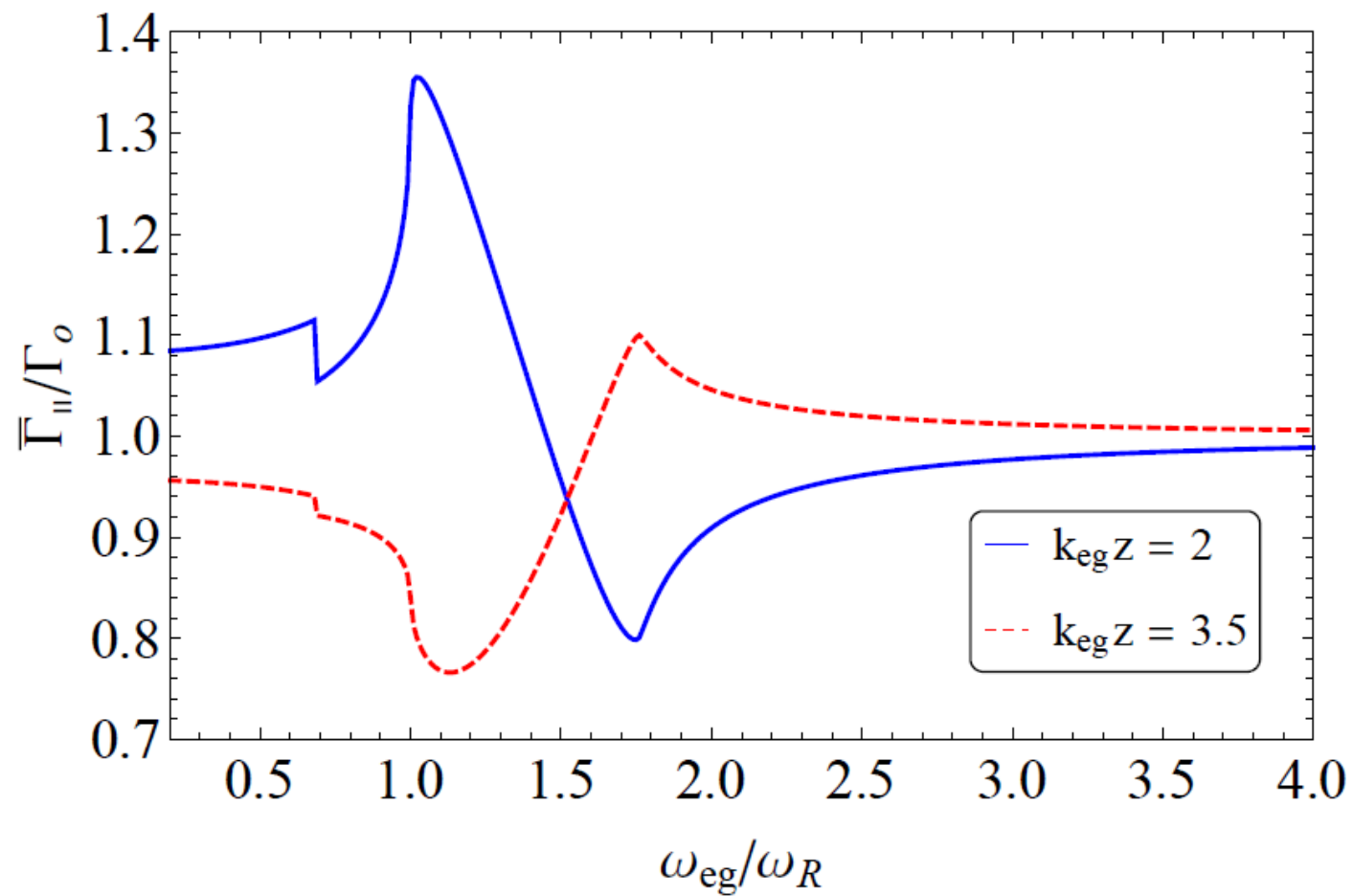


- Pequena influência do dielétrico na taxa de EE, exceto quando a frequência da transição é próxima à frequência de ressonância do material.

**Átomo próximo a um condutor perfeito:**



# EE DE UM ÁTOMO PRÓXIMO A UM MEIO DIELÉTRICO



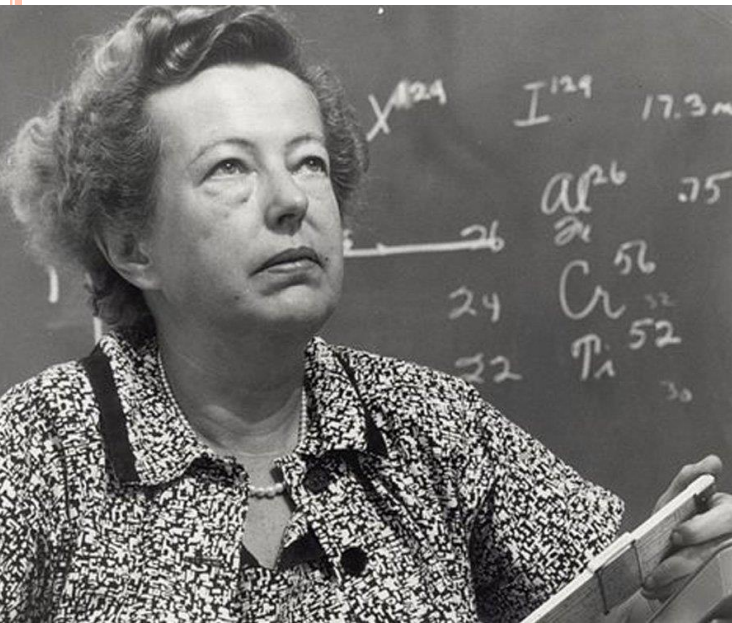
# Emissão espontânea de dois fótons

## EMISSÃO ESPONTÂNEA DE DOIS FÓTONS (EEDF)

- Processo de **segunda ordem**, portanto, muito menos provável que a EE de um fóton.
- É um processo relevante quando a EE de um fóton não é possível, por exemplo, devido às regras de seleção.
- Ex: transição  $2s - 1s$  no átomo de H.
- Espectro de emissão de **banda larga**.

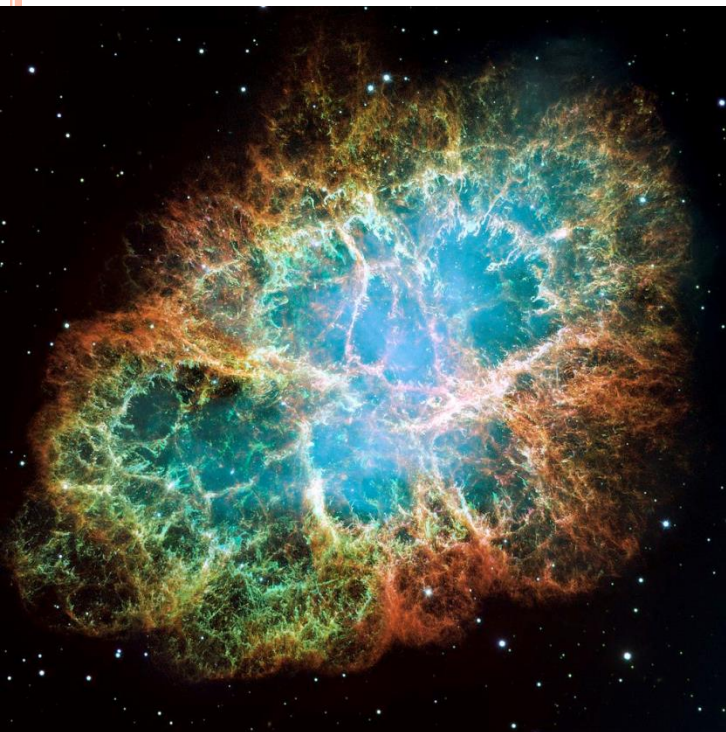
# UMA BREVE HISTÓRIA

- **Maria Göppert-Mayer (1931)** foi a primeira a obter a taxa de decaimento de um átomo pela emissão **simultânea** de dois fótons.
- Não somente isso, seu trabalho foi pioneiro no que diz respeito ao estudo de processos elementares em segunda ordem na EDQ.



# UMA BREVE HISTÓRIA

- Em **1940**, **Breit e Teller** mostraram que o mecanismo de decaimento dominante na transição  $2s - 1s$  no átomo de H é a EEDF, obtendo  $\tau \approx 1/7s$ .
- Isso foi capaz de explicar o espectro de emissão de nebulosas planetárias.



# UMA BREVE HISTÓRIA

- No entanto, fazer medidas em laboratório do processo de EEDF é complicado.
- **M. Lipeles** e coautores (**1965**) realizaram a primeira verificação experimental do fenômeno.
- Após os trabalhos pioneiros, a EEDF passou a ser investigada em diversos sistemas (**átomos hidrogenóides, átomos de muitos elétrons, materiais semicondutores, pontos quânticos**).

# EFEITO PURCELL E EEDF

- O efeito Purcell na EEDF não é um tema amplamente discutido na literatura, em parte, devido à dificuldade de se observar o fenômeno.
- No entanto, com o crescente progresso em **ótica de campo próximo, plasmônica, metamateriais** etc, o interesse no tema tem aumentado.
- **N. Rivera *et al***, “*Making two-photon processes dominate one-photon processes using mid-ir phonon polaritons*”, PNAS (2017)
- Além disso, a EEDF é um processo **mais rico** que a EE de um fóton.

# FORMALISMO

- A taxa de EEDF pode ser obtida utilizando a **regra de ouro de Fermi em segunda ordem**,

$$w_{i \rightarrow f}^{(2)} = \frac{2\pi}{\hbar^4} |M_{fi}|^2 \delta(\omega_{fi}) \quad , \quad M_{fi}(\omega) = \lim_{\eta \rightarrow 0^+} \sum_n \frac{\langle f|V|n\rangle \langle n|V|i\rangle}{\omega - \omega_n + i\eta}.$$

- Usando como perturbação o hamiltoniano de interação dipolar, obtemos

$$\Gamma(\mathbf{R}) = \frac{\pi}{4\epsilon_0^2 \hbar^2} \sum_{\mathbf{k}p, \mathbf{k}'p'} \omega_k \omega_{k'} \left| \mathbf{A}_{\mathbf{k}p}(\mathbf{R}) \cdot \mathbb{D}(\omega_k, \omega_{k'}) \cdot \mathbf{A}_{\mathbf{k}'p'}(\mathbf{R}) \right|^2 \delta(\omega_k + \omega_{k'} - \omega_{eg}),$$

$$\mathbb{D}(\omega_k, \omega_{k'}) := \lim_{\eta \rightarrow 0^+} \sum_m \left[ \frac{\mathbf{d}_{em} \mathbf{d}_{mg}}{\omega_{em} - \omega_k + i\eta} + \frac{\mathbf{d}_{mg} \mathbf{d}_{em}}{\omega_{em} - \omega_{k'} + i\eta} \right].$$



# EEDF DE UM ÁTOMO NO ESPAÇO LIVRE

$$\Gamma(\mathbf{R}) = \frac{\pi}{4\epsilon_0^2 \hbar^2} \sum_{\mathbf{k}p, \mathbf{k}'p'} \omega_k \omega_{k'} |\mathbf{A}_{\mathbf{k}p}(\mathbf{R}) \cdot \mathbb{D}(\omega_k, \omega_{k'}) \cdot \mathbf{A}_{\mathbf{k}'p'}(\mathbf{R})|^2 \delta(\omega_k + \omega_{k'} - \omega_{eg}).$$

- Modos do campo no espaço livre:  $\mathbf{A}_{\mathbf{k}p}(\mathbf{R}) = \frac{e^{i\mathbf{k}\cdot\mathbf{R}}}{\sqrt{V}} \mathbf{e}_{\mathbf{k}p}$ .

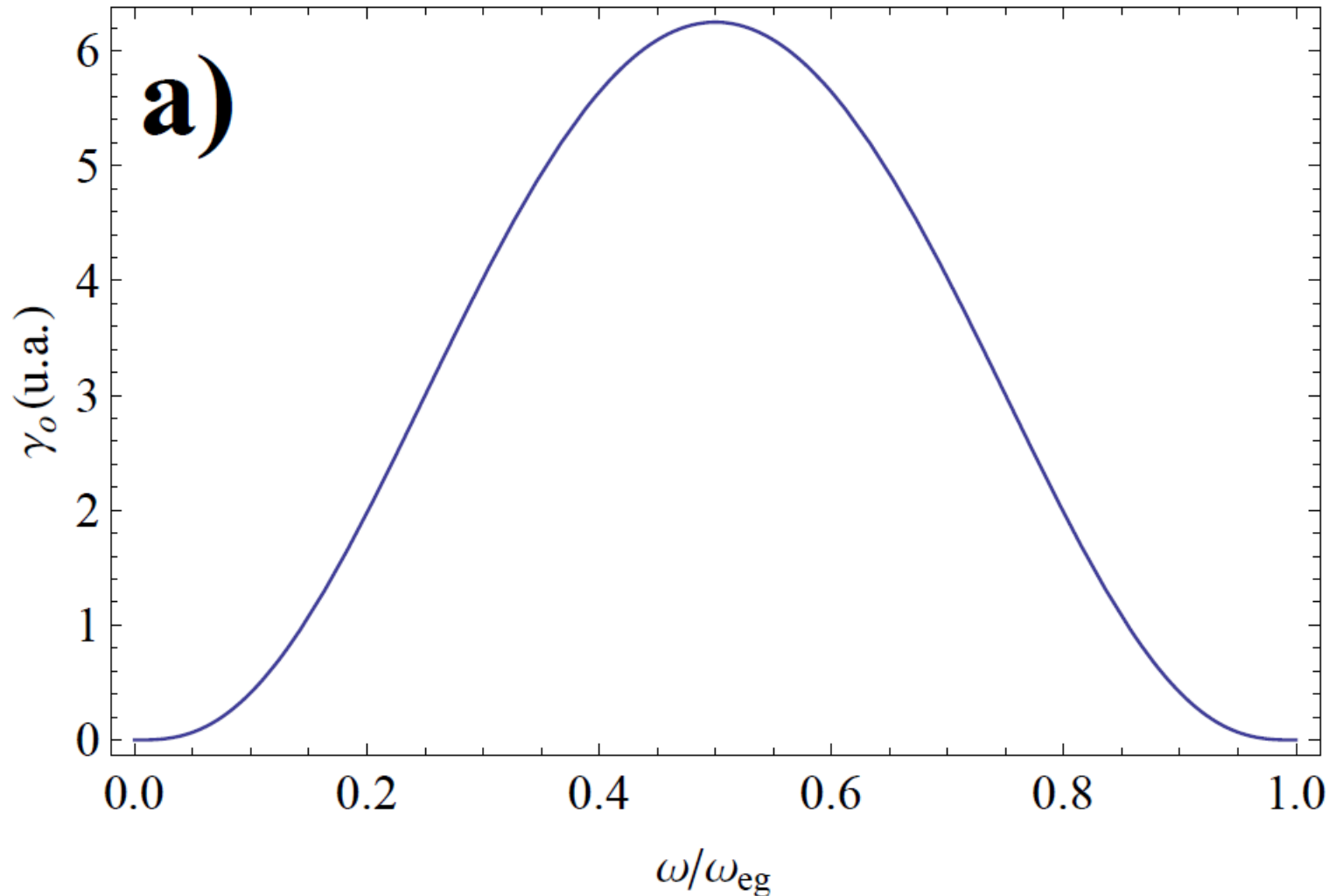
$$\Gamma_o = \int_0^{\omega_{eg}} d\omega \gamma_o(\omega),$$

$$\gamma_o(\omega) = \frac{\mu_o^2}{36\pi^3 \hbar^2 c^2} \omega^3 (\omega_{eg} - \omega)^3 |\mathbb{D}(\omega, \omega_{eg} - \omega)|^2.$$

- Escrevemos a taxa de EEDF como uma integral da **densidade espectral** de emissão.

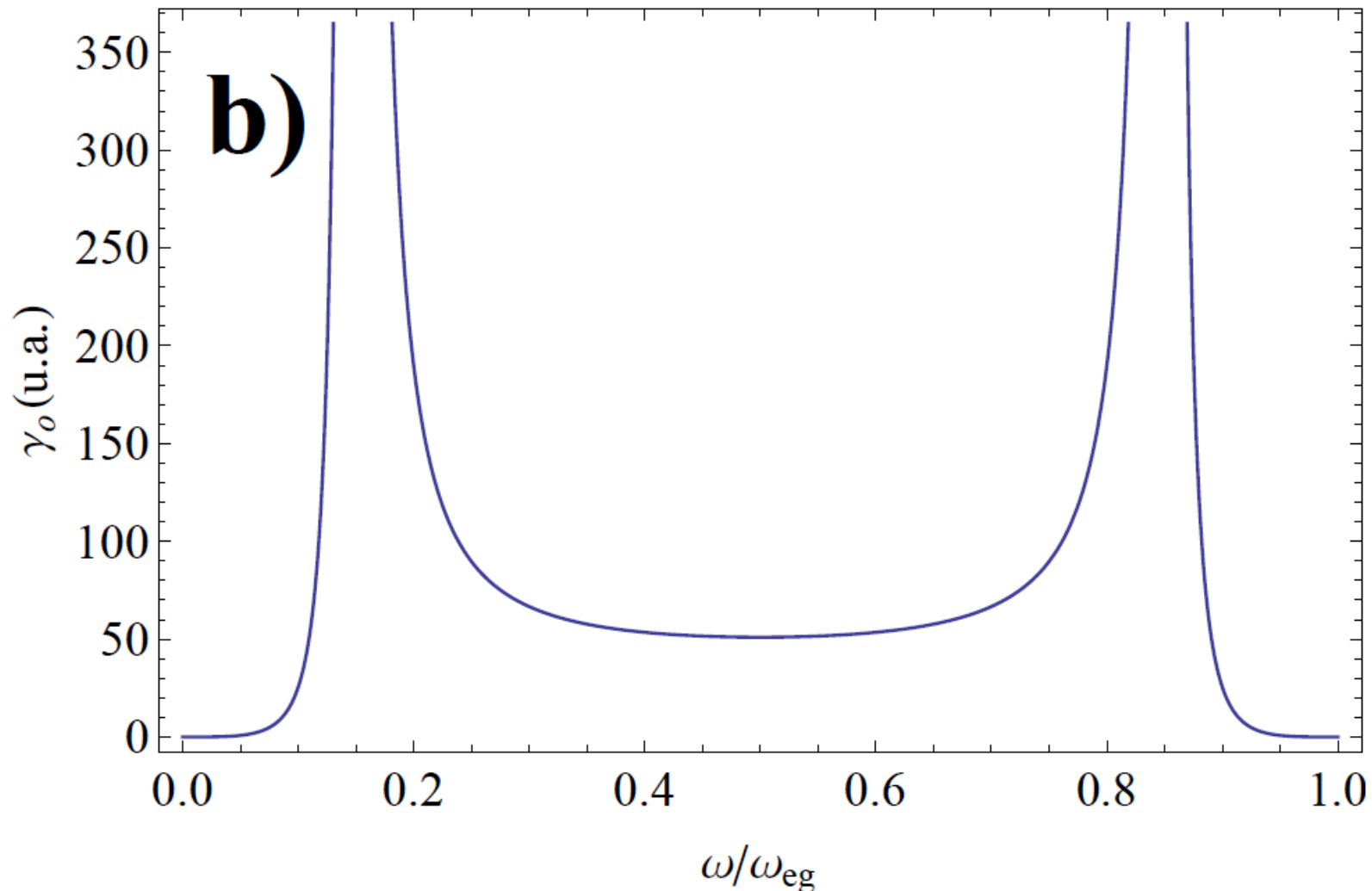
# EEDF DE UM ÁTOMO NO ESPAÇO LIVRE

- Na ausência de ressonâncias:



# EEDF DE UM ÁTOMO NO ESPAÇO LIVRE

- Com um estado intermediário ressonante:



# REGRAS DE SELEÇÃO PARA A EEDF

$$\mathbb{D}(\omega_k, \omega_{k'}) := \lim_{\eta \rightarrow 0^+} \sum_m \left[ \frac{\mathbf{d}_{em} \mathbf{d}_{mg}}{\omega_{em} - \omega_k + i\eta} + \frac{\mathbf{d}_{mg} \mathbf{d}_{em}}{\omega_{em} - \omega_{k'} + i\eta} \right].$$

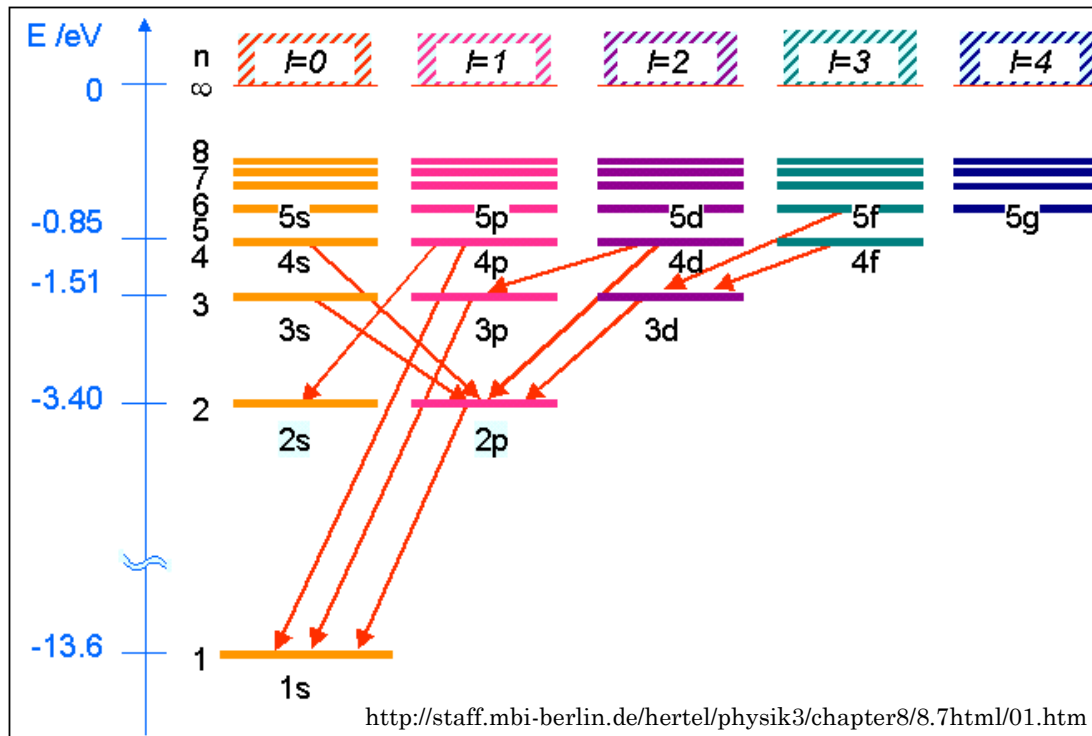
- A taxa de EEDF **não** é diretamente proporcional a  $|\mathbf{d}_{eg}|^2$ .
- Pode ser pensada como uma transição **virtual** para um estado intermediário seguida de outra transição para o estado final. Logo, as regras de seleção são

$$\Delta l_{eg} = 0, \pm 2 \text{ e } \Delta m_{eg} = 0, \pm 1, \pm 2.$$

- Transições possíveis pela EEDF não são possíveis pela EE de um fóton, porém...

# REGRAS DE SELEÇÃO PARA A EEDF

- Em **átomos hidrogenóides**, o único estado que não decai pela EE de um fóton é o estado 2s.



- Átomos de muitos elétrons: outras transições possíveis.
- Além disso, outros sistemas como **moléculas** e materiais **semicondutores**, naturalmente, terão outras regras de seleção para a EEDF.

# TRANSIÇÕES ENTRE ESTADOS S

$$\mathbb{D}(\omega_k, \omega_{k'}) := \lim_{\eta \rightarrow 0^+} \sum_m \left[ \frac{\mathbf{d}_{em} \mathbf{d}_{mg}}{\omega_{em} - \omega_k + i\eta} + \frac{\mathbf{d}_{mg} \mathbf{d}_{em}}{\omega_{em} - \omega_{k'} + i\eta} \right].$$

- Para cada transição temos uma forma funcional diferente para o diádico.
- Em uma transição entre estados esfericamente simétricos (do tipo s), temos

$$\mathbb{D}(\omega_k, \omega_{k'}) = \lim_{\eta \rightarrow 0^+} \sum_n d_{en} d_{ng} \left[ \frac{1}{\omega_{en} - \omega_k + i\eta} + \frac{1}{\omega_{en} - \omega_{k'} + i\eta} \right] \mathbb{I} =: D(\omega_k, \omega_{k'}) \mathbb{I}.$$

- Em outras transições, o diádico **não** é proporcional à identidade.

## DENSIDADE DE ESTADOS E EEDF.

- Não é imediato identificar a dependência da taxa de EEDF com a densidade local de estados parcial.
- Mas sabemos que apenas os modos que acoplam com os momentos de dipolo das **transições virtuais** devem contribuir.

# EEDF E O DIÁDICO DE GREEN

- A taxa de EEDF também pode ser escrita em termos do diádico de Green.

$$\Gamma = \frac{\mu_0^2}{\pi \hbar^2} \int_0^{\omega_{eg}} d\omega \omega^2 (\omega_{eg} - \omega)^2 \text{Im} \mathbb{G}_{il}(\omega) \text{Im} \mathbb{G}_{jn}(\omega_{eg} - \omega) \mathbb{D}_{ij}(\omega, \omega_{eg} - \omega) \mathbb{D}_{ln}^*(\omega, \omega_{eg} - \omega).$$

- Esse resultado constitui uma fórmula geral para a densidade espectral de EEDF,

$$\gamma(\omega) = \frac{\mu_0^2}{\pi \hbar^2} \omega^2 (\omega_{eg} - \omega)^2 \text{Im} \mathbb{G}_{il}(\omega) \text{Im} \mathbb{G}_{jn}(\omega_{eg} - \omega) \mathbb{D}_{ij}(\omega, \omega_{eg} - \omega) \mathbb{D}_{ln}^*(\omega, \omega_{eg} - \omega).$$

# O FATOR PURCELL

- Na base que diagonaliza o diádico de Green,

$$\gamma(\omega) = \frac{\mu_0^2}{\pi \hbar^2} \omega^2 (\omega_{eg} - \omega)^2 \sum_{i,j} \text{Im} \mathbb{G}_{ii}(\omega) \text{Im} \mathbb{G}_{jj}(\omega_{eg} - \omega) |\mathbb{D}_{ij}(\omega, \omega_{eg} - \omega)|^2.$$

- Vamos definir o **fator Purcell** como

$$P_i(\mathbf{R}, \omega) := \frac{6\pi c}{\omega} \text{Im} \mathbb{G}_{ii}(\mathbf{R}, \mathbf{R}, \omega).$$

- Dessa forma,

$$\frac{\gamma(\omega)}{\gamma_0(\omega)} = \sum_{i,j} \frac{|\mathbb{D}_{ij}(\omega, \omega_{eg} - \omega)|^2}{|\mathbb{D}(\omega, \omega_{eg} - \omega)|^2} P_i(\omega) P_j(\omega_{eg} - \omega).$$

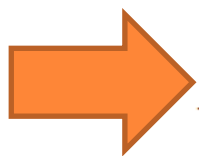
# O QUE É O FATOR PURCELL?

- Lembremos que

$$\frac{\Gamma}{\Gamma_o} = \frac{6\pi c}{\omega_{eg}} \hat{\mathbf{n}}_{eg}^* \cdot [\text{Im}\mathbb{G}(\mathbf{R}, \mathbf{R}, \omega_{eg})] \cdot \hat{\mathbf{n}}_{eg}.$$



Taxas de EE  
de **um fóton**



$$P_i(\mathbf{R}, \omega) := \frac{6\pi c}{\omega} \text{Im}\mathbb{G}_{ii}(\mathbf{R}, \mathbf{R}, \omega).$$

- Sabendo **as taxas** de EE de um fóton de um átomo próximo a uma superfície, obtemos imediatamente a densidade espectral de EEDF!
- Note que o fator Purcell é proporcional à densidade local de estados parcial.

# EFEITO PURCELL NA EEDF

- Consideraremos três casos: um átomo próximo a **uma placa** condutora, entre **duas placas** condutoras e próximo a um **meio semi-infinito**, homogêneo e dispersivo.
- Por simetria, em todos os casos o **diádico de Green** é **diagonal** na **base cartesiana**.

$$P_1(\omega) = P_2(\omega) = P_{\parallel}(\omega) := \frac{\bar{\Gamma}_{\parallel}}{\Gamma_o},$$

$$P_3(\omega) = P_{\perp}(\omega) := \frac{\bar{\Gamma}_{\perp}}{\Gamma_o}.$$

# EFEITO PURCELL NA EEDF

- A densidade espectral pode ser escrita como

$$\gamma(\omega) = \gamma_{\parallel}(\omega) + \gamma_{\perp}(\omega) + \gamma_c(\omega),$$

$$\frac{\gamma_{\parallel}(\omega)}{\gamma_o(\omega)} = \frac{[|\mathbb{D}_{11}(\omega, \omega_{eg} - \omega)|^2 + |\mathbb{D}_{22}(\omega, \omega_{eg} - \omega)|^2]}{|\mathbb{D}(\omega, \omega_{eg} - \omega)|^2} \underline{P_{\parallel}(\omega) P_{\parallel}(\omega_{eg} - \omega)},$$

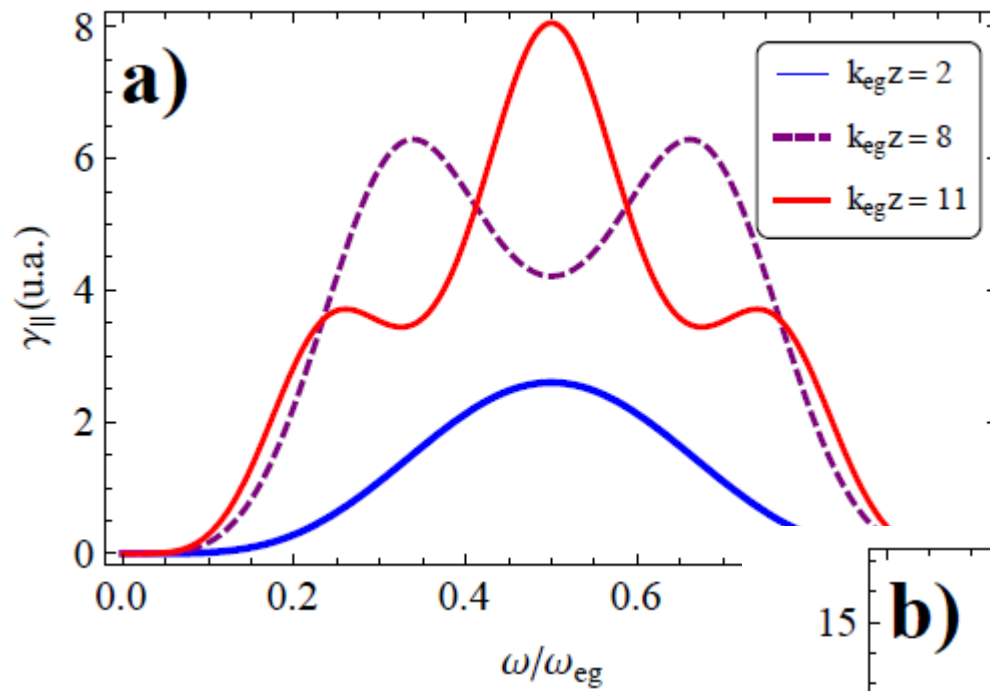
$$\frac{\gamma_{\perp}(\omega)}{\gamma_o(\omega)} = \frac{|\mathbb{D}_{33}(\omega, \omega_{eg} - \omega)|^2}{|\mathbb{D}(\omega, \omega_{eg} - \omega)|^2} \underline{P_{\perp}(\omega) P_{\perp}(\omega_{eg} - \omega)},$$

$$\frac{\gamma_c(\omega)}{\gamma_o(\omega)} = \sum_{i \neq j} \frac{|\mathbb{D}_{ij}(\omega, \omega_{eg} - \omega)|^2}{|\mathbb{D}(\omega, \omega_{eg} - \omega)|^2} P_i(\omega) P_j(\omega_{eg} - \omega).$$

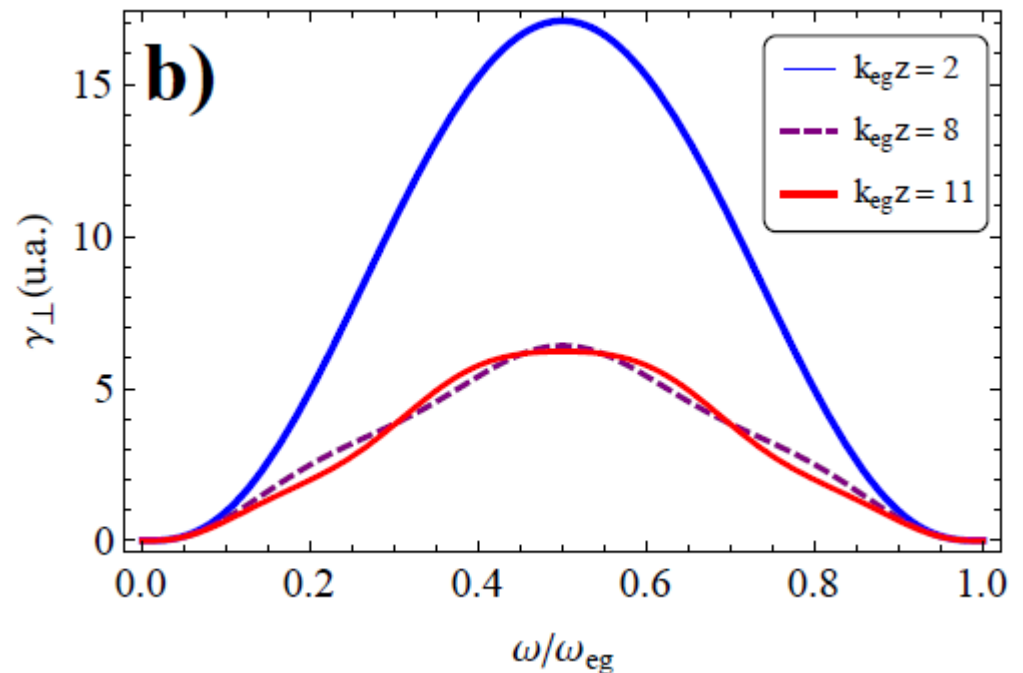
- No caso particular de uma **transição entre estados s**,

$$\frac{\gamma}{\gamma_o} = \frac{2}{3} \frac{\gamma_{\parallel}}{\gamma_o} + \frac{1}{3} \frac{\gamma_{\perp}}{\gamma_o}.$$

# ÁTOMO PRÓXIMO A UMA PLACA CONDUTORA

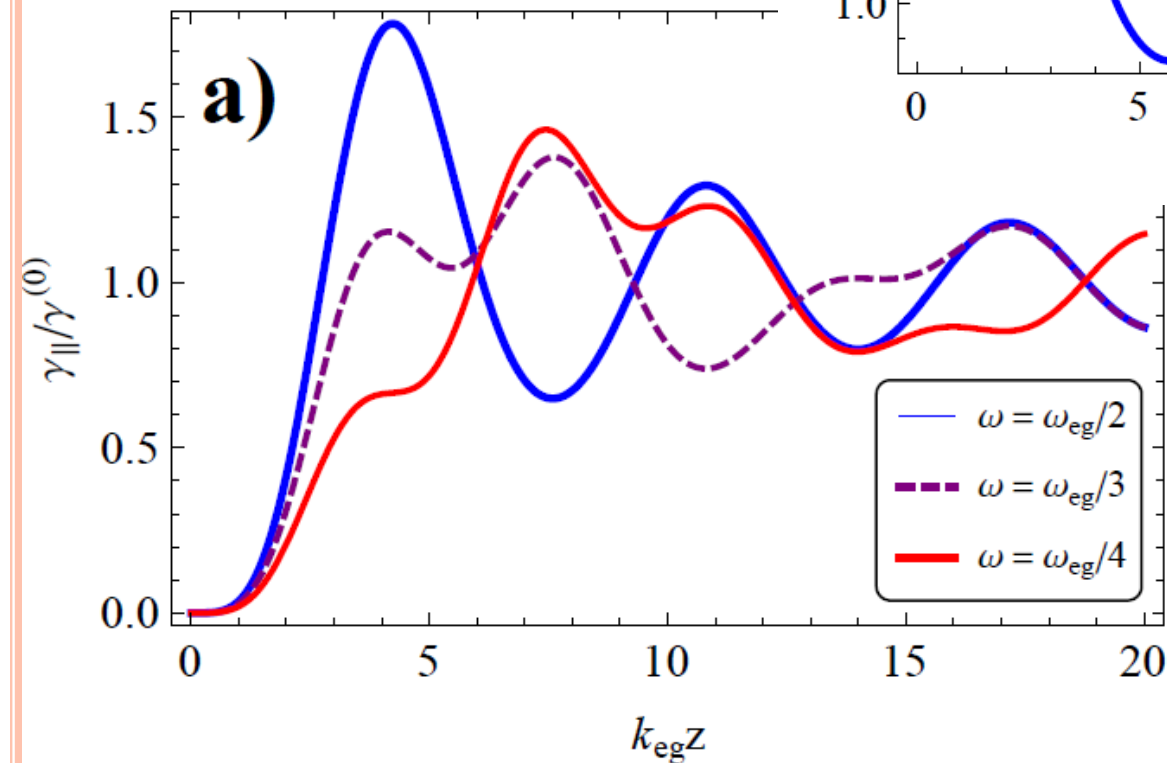
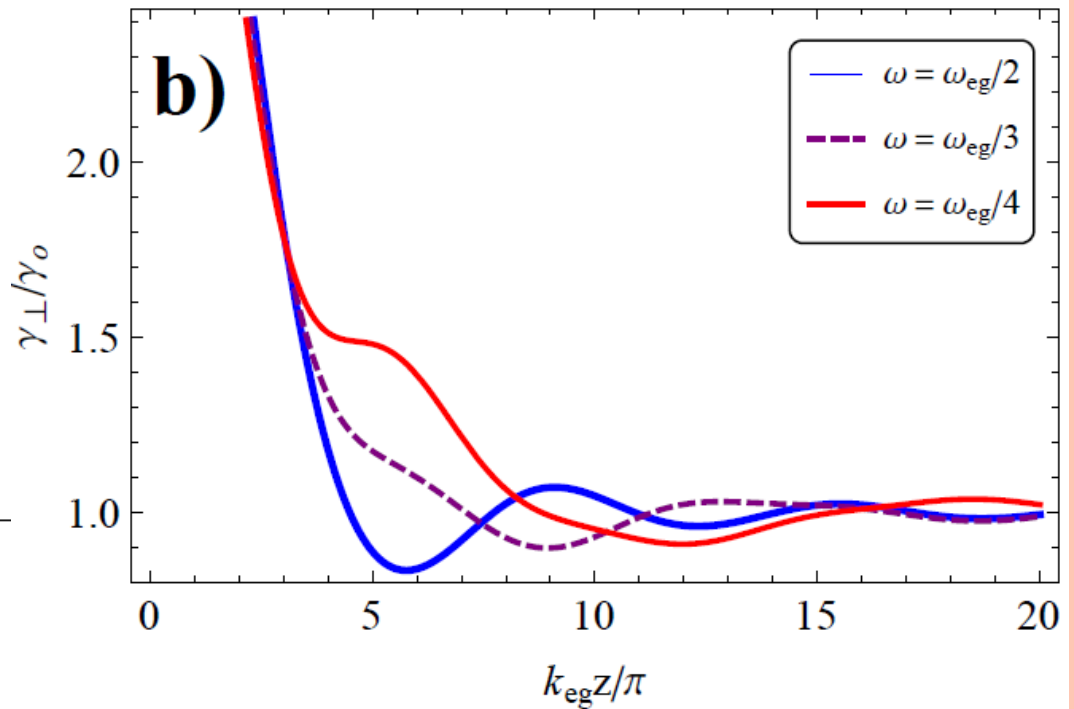


É possível alterar não somente a taxa de emissão, como também o espectro.

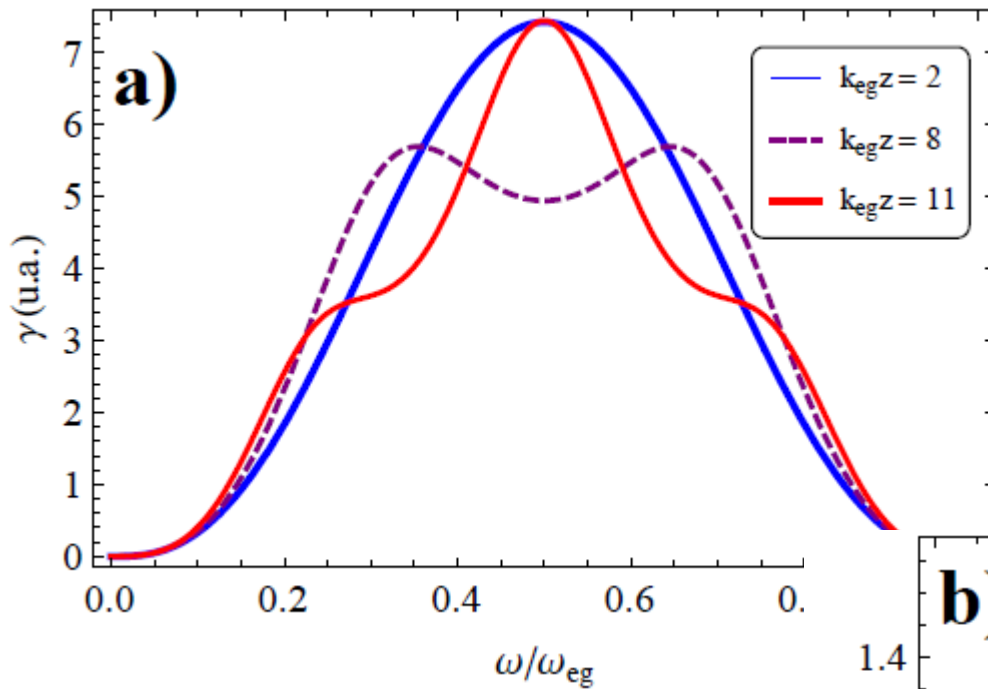


# ÁTOMO PRÓXIMO A UMA PLACA CONDUTORA

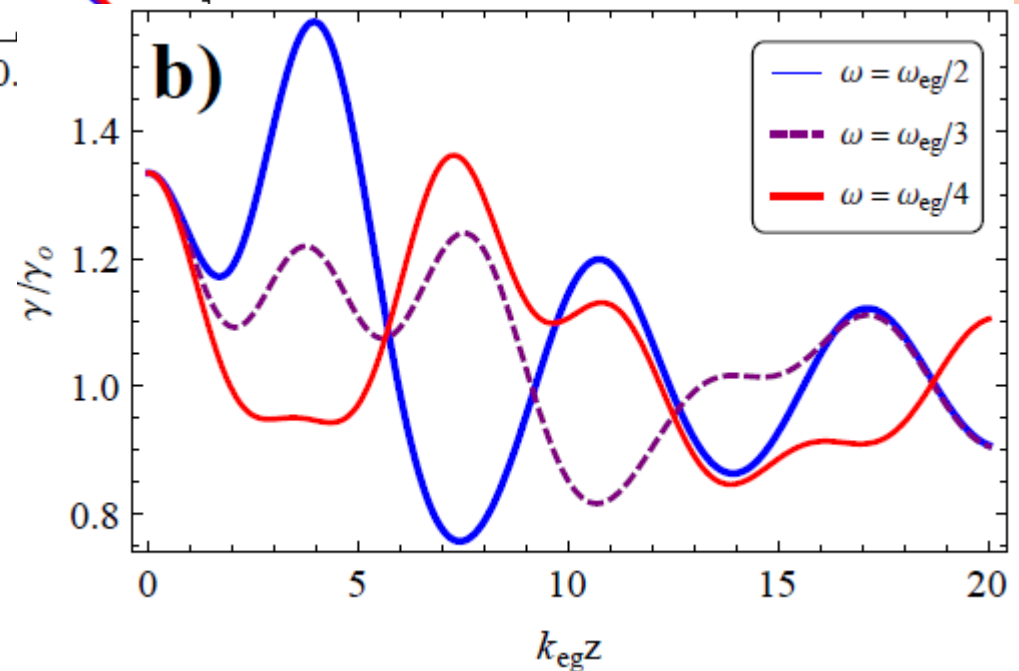
Oscilações anarmônicas para frequências que não sejam iguais à metade da frequência da transição.



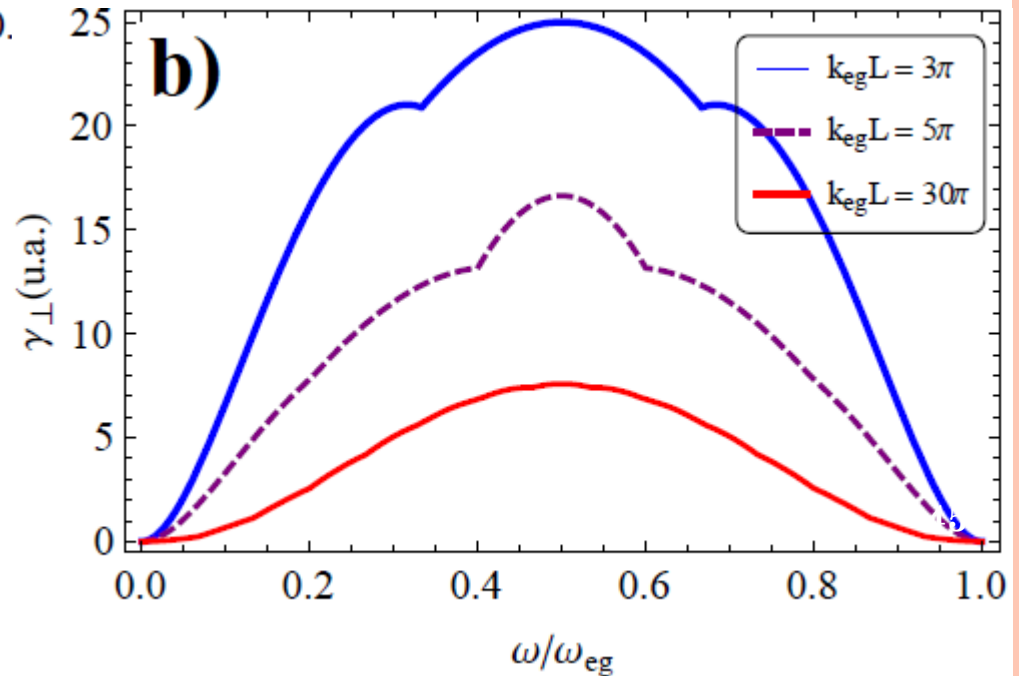
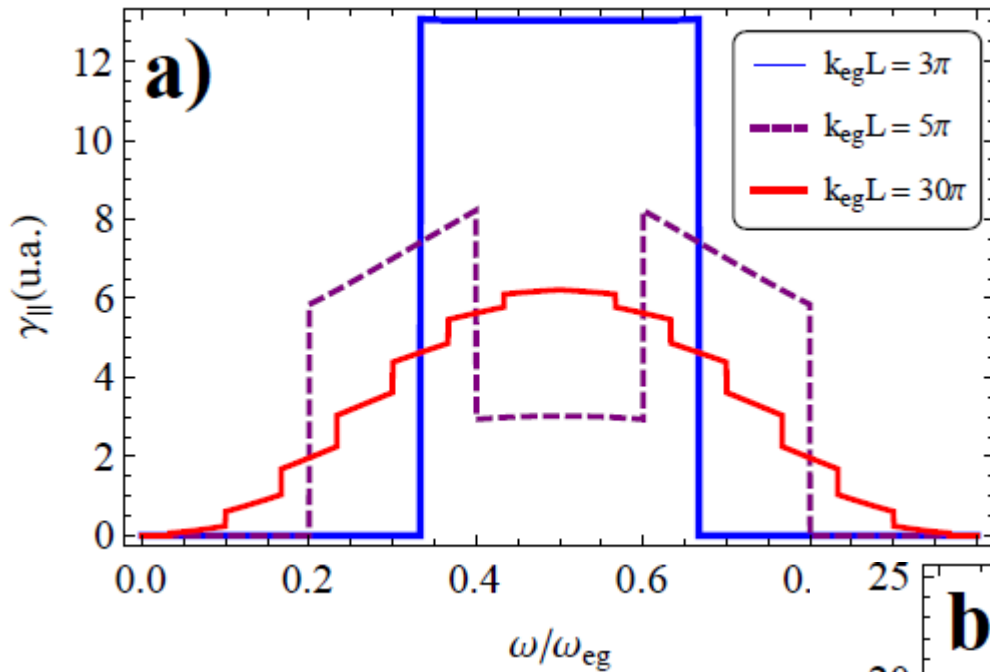
# ÁTOMO PRÓXIMO A UMA PLACA CONDUTORA



As contribuições paralela e perpendicular não tem significado separadamente.

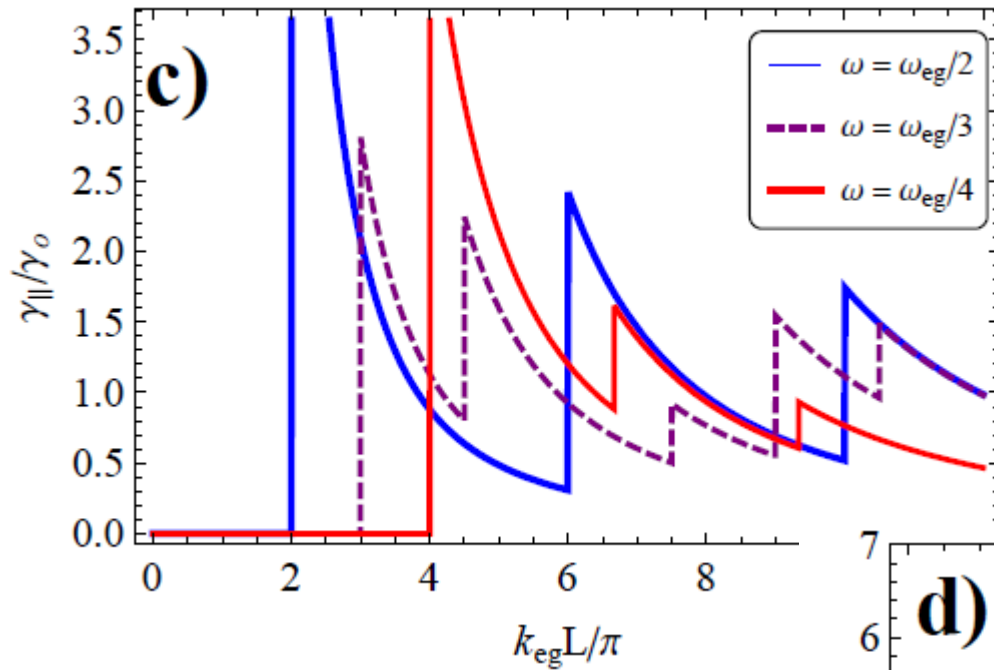


# ÁTOMO ENTRE DUAS PLACAS CONDUTORAS

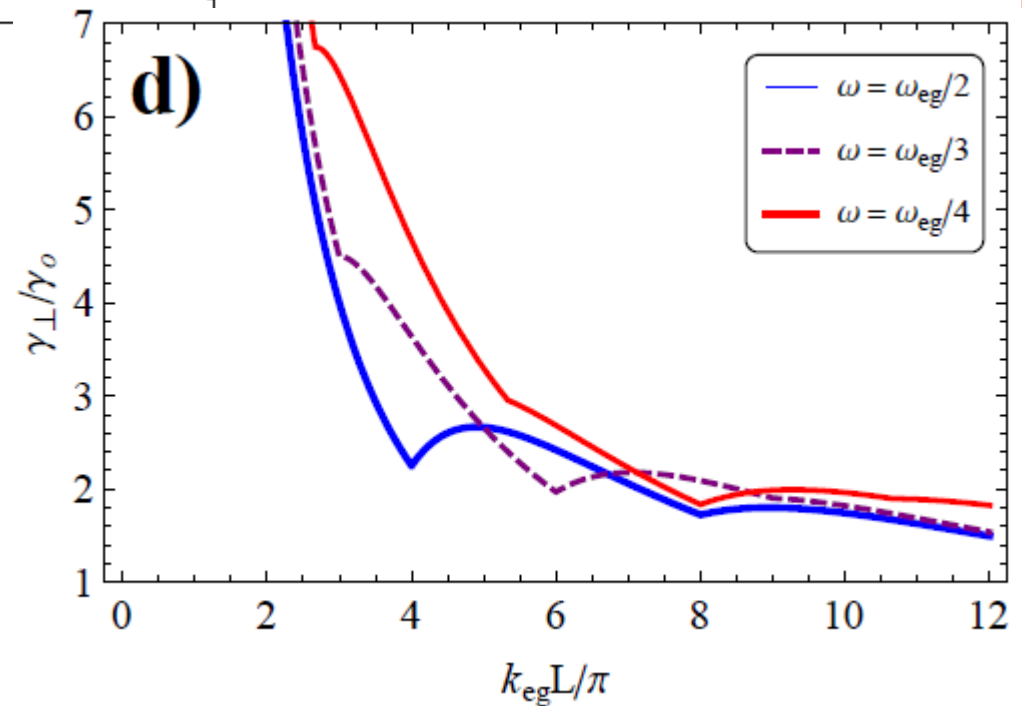


Como reflexo das  
descontinuidades na  
densidade de estados, o  
espectro de emissão também  
apresenta mudanças abruptas.

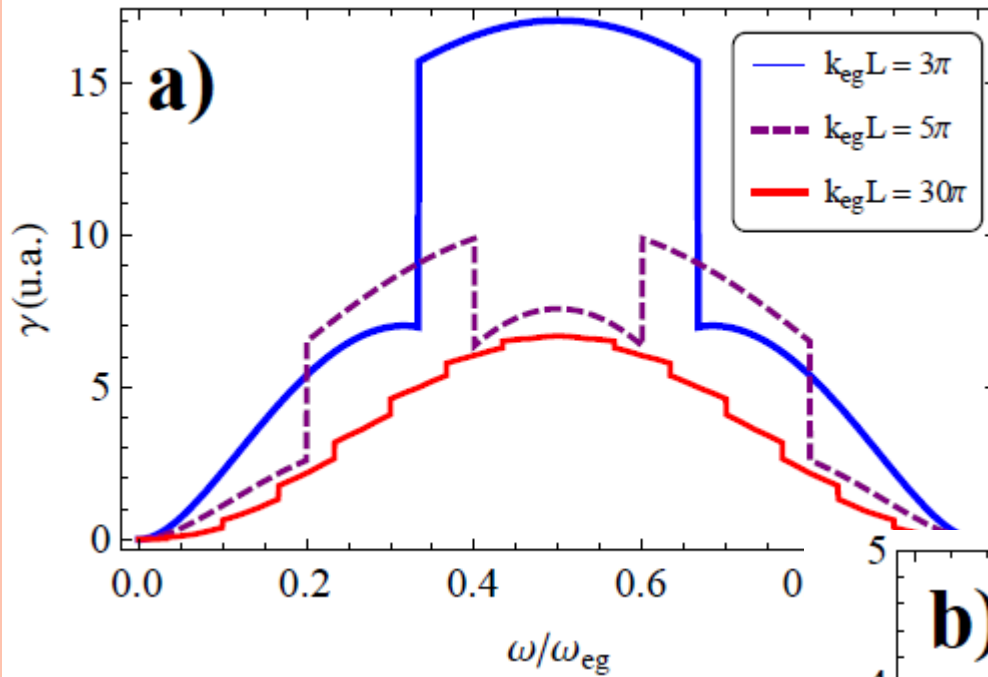
# ÁTOMO ENTRE DUAS PLACAS CONDUTORAS



A contribuição paralela é suprimida para curtas distâncias (em todas as frequências).

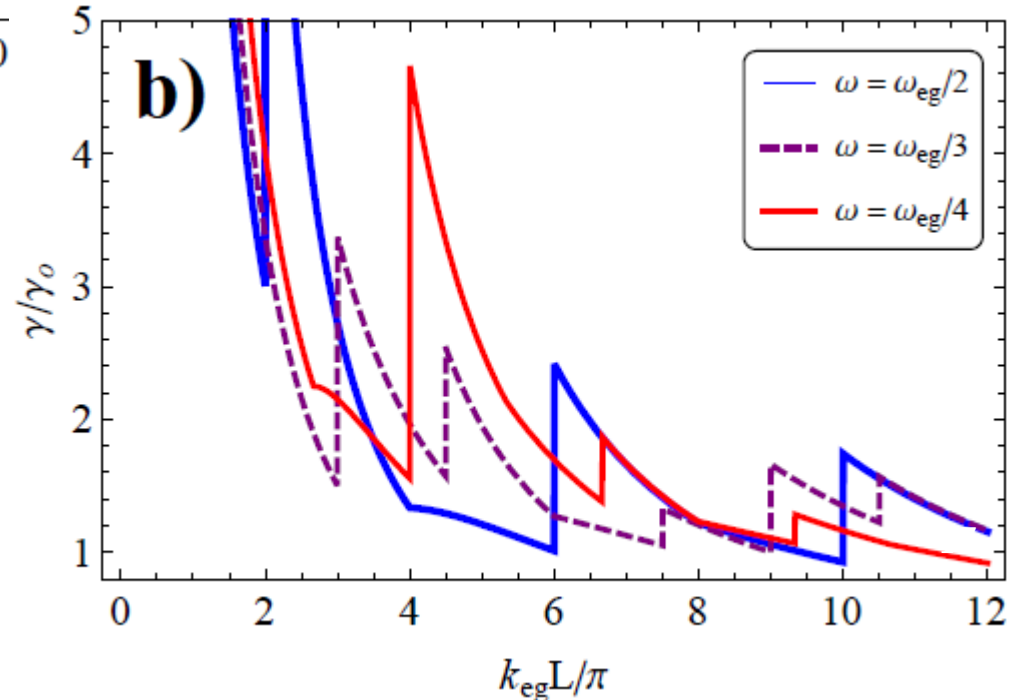


# ÁTOMO ENTRE DUAS PLACAS CONDUTORAS



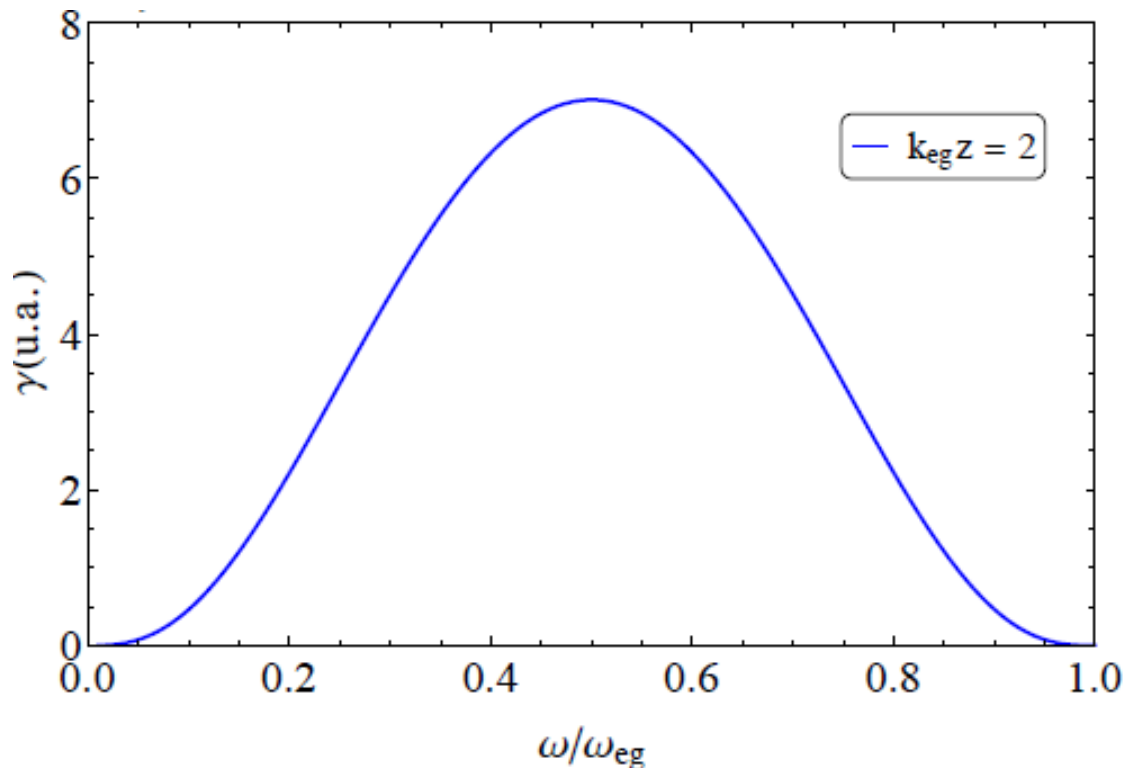
No entanto, a EEDF não é suprimida nessa situação!

É possível suprimir a EE de um fóton e não suprimir a EEDF.



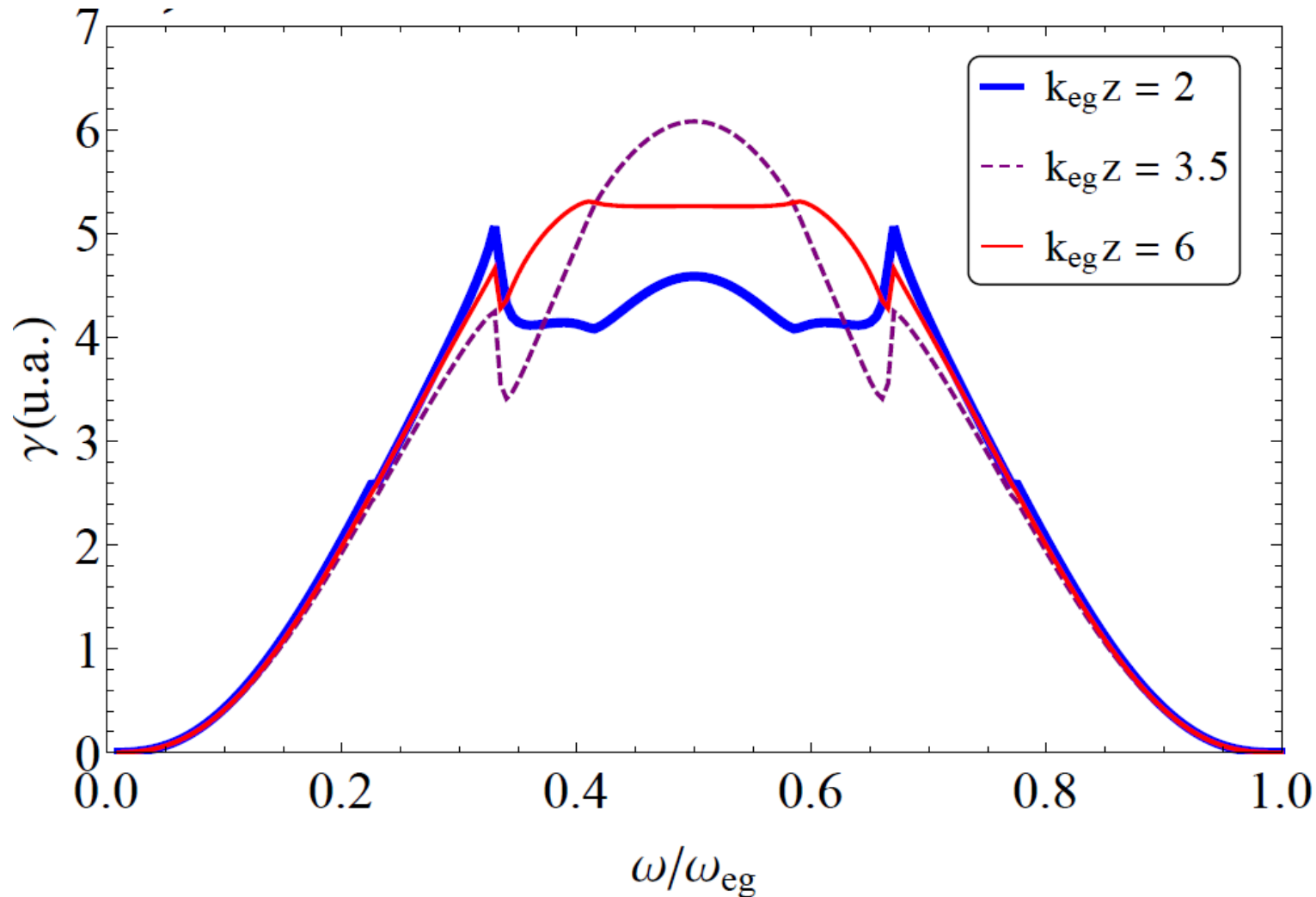
# ÁTOMO PRÓXIMO A UM MEIO DIELÉTRICO

- Existem duas possibilidades:  $\omega_{eg} < \omega_R$  e  $\omega_{eg} > \omega_R$ .
- No **primeiro caso**, no regime de **campo distante** o espectro de emissão não varia muito.



# ÁTOMO PRÓXIMO A UM MEIO DIELÉTRICO

- No segundo caso, a ressonância se reflete no espectro de emissão.



## COMENTÁRIOS FINAIS

- Realizamos uma **revisão detalhada** do que existe na literatura sobre EE de um e dois fótons.
- Fizemos um **estudo de base** do efeito Purcell na **EEDF** dentro do contexto da **EDQ com CC**.
- Além de **recuperar** alguns **resultados conhecidos** utilizando um **formalismo mais simples**, realizamos alguns avanços no entendimento **conceitual** do fenômeno
- Mostramos uma maneira muito **simples** de obter o **espectro de EEDF a partir de resultados conhecidos** para a taxa de EE de um fóton.
- Estudamos **três exemplos** de efeito Purcell na EEDF e vimos que as influências de um corpo nas taxas de EE de um e dois fótons são, em geral, **diferentes**.

# PERSPECTIVAS

- Estudar EE **além da aproximação de dipolo**. Estudar o **efeito Purcell** nos mais diversos tipos de emissão (**1 e 2 fótons** via **dipolo elétrico, dipolo magnético, quadrupolo elétrico** etc).
- Investigar os aspectos da EE e do efeito Purcell em outros sistemas (**moléculas, semicondutores, pontos quânticos, ...**).
- Estudar outros aspectos da EEDF, como a **distribuição angular** dos fótons emitidos ou até mesmo o **emaranhamento** dos mesmos.
- Considerar a influência de meios materiais **plasmônicos, metamateriais** ou materiais **bidimensionais** sobre a EE.
- Analisar formas de **controle** da EE através do efeito Purcell utilizando materiais cujas propriedades sejam **sintonizáveis** por meio de **agentes externos**.
- Estudar os **canais de decaimento** da EE.

**OBRIGADO!**

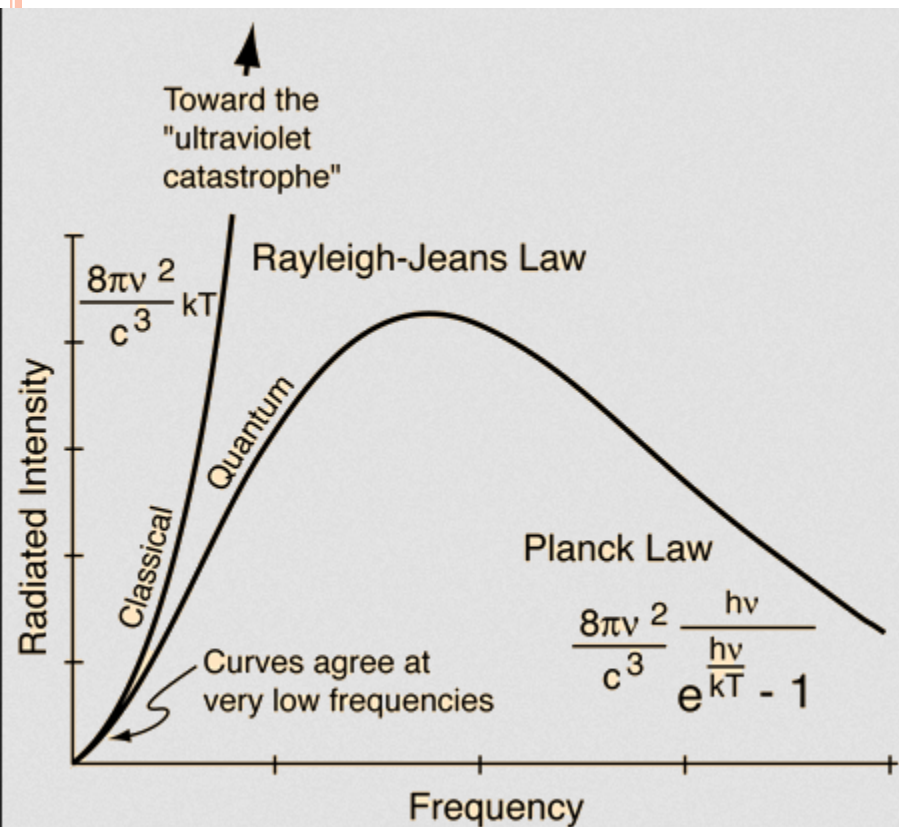
# Material suplementar

# ESPECTRO DE EMISSÃO DE CORPO NEGRO

- Teoria de **Planck** sobre radiação de corpo negro (1900):

$$u(\omega) = \frac{\hbar\omega^3}{\pi^2c^3} \frac{1}{e^{\hbar\omega/k_B T} - 1}$$

Mesmo após o grande avanço de Planck, ainda tentavam entender a origem da lei de Planck de um ponto de vista mais fundamental.



# APROXIMAÇÃO DE WEISSKOPF-WIGNER

- Para estudar a evolução temporal do sistema átomo-campo em uma escala de tempo longa em relação a  $\frac{1}{\Gamma}$ , é necessário um **modelo não-perturbativo** para o sistema.
- Em **1930**, **Weisskopf** e **Wigner** introduziram um modelo aproximado para a evolução temporal do sistema. Nesse modelo, a probabilidade de que o sistema permaneça no estado inicial é

$$\underline{|c_i(t)|^2 = e^{-\Gamma t}}$$

- Pode-se mostrar que esse resultado decorre da **aproximação Markoviana**, que consiste em supor que o sistema não possui memória.

# APROXIMAÇÃO DE WEISSKOPF-WIGNER

- Para tempos suficientemente curtos,  $|c_i(t)|^2 \approx 1 - \Gamma t$  e identificamos a taxa de transição obtida pela regra de ouro como sendo o inverso do tempo de decaimento  $\tau$
- A aproximação de Weisskopf-Wigner é uma ótima aproximação para a evolução temporal do sistema, mas nem sempre.
- A evolução temporal do estado de um átomo em uma **cavidade ressonante**, por exemplo, **não** é dada por um decaimento exponencial.

## EE E DENSIDADE DE ESTADOS

$$\Gamma(\mathbf{R}) = \frac{\pi}{\epsilon_0 \hbar} \sum_{\mathbf{k}p} \omega_k |\mathbf{d}_{eg} \cdot \mathbf{A}_{\mathbf{k}p}(\mathbf{R})|^2 \delta(\omega_k - \omega_{eg}).$$

- Definindo densidade local de estados como

$$\begin{aligned} \rho_l(\mathbf{r}, \omega) &:= \rho_l^{\hat{\mathbf{x}}}(\mathbf{r}, \omega) + \rho_l^{\hat{\mathbf{y}}}(\mathbf{r}, \omega) + \rho_l^{\hat{\mathbf{z}}}(\mathbf{r}, \omega) \\ &= \sum_{\mathbf{k}p} |\mathbf{A}_{\mathbf{k}p}(\mathbf{r})|^2 \delta(\omega_k - \omega), \end{aligned}$$

- pode-se mostrar que

$$\int d^3\mathbf{r} \rho_l(\mathbf{r}, \omega) = \rho(\omega) = \sum_{\mathbf{k}p} \delta(\omega_k - \omega)$$

- A taxa de EE depende da densidade de estados, mas apenas contribuem os estados que **acoplam** com o momento de dipolo da transição.

# TAXAS DE EE DE UM FÓTON

- 1 placa:

$$\frac{\Gamma_{\parallel}}{\Gamma_o} = \frac{3 |\mathbf{d}_{eg}^{\parallel}|^2}{2 |\mathbf{d}_{eg}|^2} \left[ \frac{2}{3} - \frac{\text{sen}(2k_{eg}z)}{(2k_{eg}z)} - \frac{\cos(2k_{eg}z)}{(2k_{eg}z)^2} + \frac{\text{sen}(2k_{eg}z)}{(2k_{eg}z)^3} \right]$$

$$\frac{\Gamma_{\perp}}{\Gamma_o} = 3 \frac{|\mathbf{d}_{eg}^{\perp}|^2}{|\mathbf{d}_{eg}|^2} \left[ \frac{1}{3} - \frac{\cos(2k_{eg}z)}{(2k_{eg}z)^2} + \frac{\text{sen}(2k_{eg}z)}{(2k_{eg}z)^3} \right]$$

- 2 placas:

$$\frac{\Gamma_{\parallel}}{\Gamma_o} = \frac{|\mathbf{d}_{eg}^{\parallel}|^2}{|\mathbf{d}_{eg}|^2} \frac{3\pi}{2k_{eg}L} \sum_{n=1}^{[k_{eg}L/\pi]} \text{sen}^2 \left( \frac{n\pi z}{L} \right) \left[ 1 + \frac{n^2\pi^2}{k_{eg}^2 L^2} \right]$$

$$\frac{\Gamma_{\perp}}{\Gamma_o} = \frac{|\mathbf{d}_{eg}^{\perp}|^2}{|\mathbf{d}_{eg}|^2} \frac{3\pi}{k_{eg}L} \sum_{n=0}^{[k_{eg}L/\pi]} \cos^2 \left( \frac{n\pi z}{L} \right) \left[ 1 - \frac{n^2\pi^2}{k_{eg}^2 L^2} \right]$$

# MÉDIA ORIENTACIONAL

- É muito comum situações onde a direção do momento de dipolo da transição seja aleatória. Nesse caso, devemos calcular a média orientacional. Obtemos

$$\langle \Gamma \rangle(\mathbf{R}) = \frac{\pi |d_{eg}|^2 \omega_{eg}}{3\epsilon_0 \hbar} \rho_l(\mathbf{R}, \omega_{eg}).$$

- Para um átomo próximo a uma placa condutora,

$$\langle \Gamma \rangle = \frac{1}{3} \bar{\Gamma}_{\perp} + \frac{2}{3} \bar{\Gamma}_{\parallel}.$$

- A contribuição paralela é o dobro da perpendicular.

# EMISSÃO ESPONTÂNEA E O DIÁDICO DE GREEN

- Pelas equações de Maxwell, pode-se mostrar que

$$\nabla \times \nabla \times \mathbf{E}(\mathbf{r}, t) + \frac{1}{c^2} \frac{\partial^2}{\partial t^2} \mathbf{E}(\mathbf{r}, t) = -\mu_0 \frac{\partial}{\partial t} \mathbf{j}(\mathbf{r}, t).$$

- No espaço de frequências,

$$\nabla \times \nabla \times \tilde{\mathbf{E}}(\mathbf{r}, \omega) - \frac{\omega^2}{c^2} \tilde{\mathbf{E}}(\mathbf{r}, \omega) = i\omega\mu_0 \tilde{\mathbf{j}}(\mathbf{r}, \omega).$$

- Essa equação é a equação de **Helmholtz vetorial** (não-homogênea). Seu resolvente é um diádico e satisfaz

$$\nabla \times \nabla \times \mathbb{G}(\mathbf{r}, \mathbf{r}', \omega) - \frac{\omega^2}{c^2} \mathbb{G}(\mathbf{r}, \mathbf{r}', \omega) = \mathbb{I} \delta(\mathbf{r} - \mathbf{r}').$$

# EMISSÃO ESPONTÂNEA E O DIÁDICO DE GREEN

- Os modos são soluções da equação de Helmholtz homogênea

$$\nabla \times \nabla \times \mathbf{A}_{\mathbf{k}p}(\mathbf{r}) - \frac{\omega_k^2}{c^2} \mathbf{A}_{\mathbf{k}p}(\mathbf{r}) = -\nabla^2 \mathbf{A}_{\mathbf{k}p}(\mathbf{r}) - \frac{\omega_k^2}{c^2} \mathbf{A}_{\mathbf{k}p}(\mathbf{r}) = 0$$

- Portanto, a representação espectral do diádico de Green permite escrevê-lo em termos dos modos como

$$\mathbb{G}(\mathbf{r}, \mathbf{r}', \omega) = \lim_{\epsilon \rightarrow 0^+} \sum_{\mathbf{k}p} c^2 \frac{\mathbf{A}_{\mathbf{k}p}^*(\mathbf{r}') \mathbf{A}_{\mathbf{k}p}(\mathbf{r})}{\omega_k^2 - (\omega + i\epsilon)^2}.$$

- O interessante é que sua parte imaginária é dada por

$$\text{Im}\mathbb{G}(\mathbf{r}, \mathbf{r}', \omega) = \frac{\pi c^2}{2\omega} \sum_{\mathbf{k}p} \mathbf{A}_{\mathbf{k}p}^*(\mathbf{r}') \mathbf{A}_{\mathbf{k}p}(\mathbf{r}) \delta(\omega - \omega_k)$$

- de forma que

$$\rho_l^{\hat{\mathbf{n}}}(\mathbf{r}, \omega) = \frac{2\omega}{\pi c^2} \hat{\mathbf{n}}^* \cdot [\text{Im}\mathbb{G}(\mathbf{r}, \mathbf{r}, \omega)] \cdot \hat{\mathbf{n}}.$$

# MÉDIA ORIENTACIONAL E DIÁDICO DE GREEN

$$\rho_l(\mathbf{r}, \omega) = \frac{2\omega}{\pi c^2} \text{Tr} [\text{Im}\mathbb{G}(\mathbf{r}, \mathbf{r}, \omega)]$$

$$\frac{\langle \Gamma \rangle}{\Gamma_o} = \frac{2\pi c}{\omega_{eg}} \text{Tr} [\text{Im}\mathbb{G}(\mathbf{R}, \mathbf{R}, \omega_{eg})]$$

# EE E RADIAÇÃO DE DIPOLO ELÉTRICO

- Pela definição do diádico de Green,

$$\tilde{\mathbf{E}}(\mathbf{r}, \omega) = i\omega\mu_o \int d^3\mathbf{r}'' \mathbb{G}(\mathbf{r}, \mathbf{r}'', \omega) \cdot \tilde{\mathbf{j}}(\mathbf{r}'', \omega)$$

- Se considerarmos a distribuição de corrente de um **dipolo elétrico puntiforme e oscilante**, obtemos

$$\mathbb{G}(\mathbf{r}, \mathbf{r}', \omega) \cdot \mathbf{p} = \frac{1}{\mu_o\omega^2} \mathbf{E}_p(\mathbf{r})$$

- O diádico de Green pode ser escrito em termos das amplitudes de campos elétricos gerados por dipolos elétricos puntiformes.

$$\mathbb{G}(\mathbf{r}, \mathbf{r}', \omega) = \frac{1}{\mu_o\omega^2 p} \left[ \begin{array}{ccc} \mathbf{E}_{p\hat{x}}(\mathbf{r}) & \mathbf{E}_{p\hat{y}}(\mathbf{r}) & \mathbf{E}_{p\hat{z}}(\mathbf{r}) \end{array} \right]$$

# IDENTIDADE DE WEYL E REPRESENTAÇÃO DE ESPECTRO ANGULAR PARA O CAMPO

- No calibre de Lorenz,

$$\mathbf{E}_p^{(0)}(\mathbf{r}) = i\omega \left[ 1 + \frac{1}{k^2} \nabla \nabla \cdot \right] \mathbf{A}_p(\mathbf{r}) \quad \mathbf{A}_p^{(0)}(\mathbf{r}) = -i\mu_0 \omega \frac{e^{ik|\mathbf{r}-\mathbf{r}'|}}{4\pi|\mathbf{r}-\mathbf{r}'|} \mathbf{p}.$$

- Identidade de Weyl:

$$\frac{e^{ik|\mathbf{r}-\mathbf{r}'|}}{|\mathbf{r}-\mathbf{r}'|} = \frac{i}{2\pi} \int d\mathbf{k}_{\parallel} \frac{e^{i\mathbf{k}_{\parallel} \cdot (\mathbf{r}-\mathbf{r}') + ik_z |z-z'|}}{k_z}, \quad k_z = \begin{cases} \sqrt{k^2 - k_{\parallel}^2} =: \xi, & \text{se } k_{\parallel} \leq k, \\ i\sqrt{k_{\parallel}^2 - k^2} =: i\zeta, & \text{se } k_{\parallel} > k. \end{cases}$$

- Para um dipolo orientado na direção z:

$$\mathbf{E}_{p\hat{z}}^{(0)}(\mathbf{r}) = p \frac{i\mu_0 c^2}{8\pi^2} \int d\mathbf{k}_{\parallel} \begin{bmatrix} \mp k_x \\ \mp k_y \\ k_{\parallel}^2 / k_z \end{bmatrix} e^{i\mathbf{k}_{\parallel} \cdot \mathbf{r} + ik_z |z-z'|}.$$

# CAMPO ELÉTRICO DE UM DIPOLO ELÉTRICO REFLETIDO PELA SUPERFÍCIE

$$\mathbf{E}_{p\hat{z}}^{(sca)}(\mathbf{r}) = p \frac{i\mu_o c^2}{8\pi^2} \int dk_{\parallel} [-r^p(k_{\parallel})] \begin{bmatrix} k_x \\ k_y \\ -k_{\parallel}^2/k_z \end{bmatrix} e^{i\mathbf{k}_{\parallel} \cdot \mathbf{r} + ik_z(z+z')}.$$

- Após efetuar a integral em x e y, na coincidência:

$$\mathbf{E}_{p\hat{z}}^{(sca)}(z') = p\hat{z} \frac{i\mu_o c^2}{4\pi} \int_0^{\infty} dk_{\parallel} r^p(k_{\parallel}) \frac{k_{\parallel}^3}{k_z} e^{2ik_z z'}.$$

- Com isso, pode-se obter

$$\frac{\Gamma_{\perp}}{\Gamma_o} = \frac{|\mathbf{d}_{eg}^{\perp}|^2}{|\mathbf{d}_{eg}|^2} \left\{ 1 + \frac{3}{2} \int_0^{k_{eg}} dk_{\parallel} \frac{k_{\parallel}^3}{k_{eg}^3 \xi} \text{Re} [r^p(k_{\parallel}) e^{2i\xi z}] + \frac{3}{2} \int_{k_{eg}}^{\infty} dk_{\parallel} \frac{k_{\parallel}^3}{k_{eg}^3 \zeta} \text{Im} [r^p(k_{\parallel})] e^{-2\zeta z} \right\}$$

# EE E COEFICIENTES DE FRESNEL

- EE átomo próximo a um **meio semi-infinito, homogêneo e dispersivo.**

$$\frac{\Gamma_{\perp}}{\Gamma_o} = \frac{|\mathbf{d}_{eg}^{\perp}|^2}{|\mathbf{d}_{eg}|^2} \left\{ 1 + \frac{3}{2} \int_0^{k_{eg}} dk_{\parallel} \frac{k_{\parallel}^3}{k_{eg}^3 \xi} \operatorname{Re} [\underline{r^p}(k_{\parallel}) e^{2i\xi z}] + \frac{3}{2} \int_{k_{eg}}^{\infty} dk_{\parallel} \frac{k_{\parallel}^3}{k_{eg}^3 \zeta} \operatorname{Im} [\underline{r^p}(k_{\parallel}) e^{-2\zeta z}] \right\}$$

$$\frac{\Gamma_{\parallel}}{\Gamma_o} = \frac{|\mathbf{d}_{eg}^{\parallel}|^2}{|\mathbf{d}_{eg}|^2} \left\{ 1 + \frac{3}{4} \int_0^{k_{eg}} dk_{\parallel} \frac{k_{\parallel}}{k_{eg}^3 \xi} \operatorname{Re} [(k_{eg}^2 \underline{r^s}(k_{\parallel}) - \xi^2 \underline{r^p}(k_{\parallel})) e^{2i\xi z}] \right\}$$

$$+ \frac{|\mathbf{d}_{eg}^{\parallel}|^2}{|\mathbf{d}_{eg}|^2} \frac{3}{4} \int_{k_{eg}}^{\infty} dk_{\parallel} \frac{k_{\parallel}}{k_{eg}^3 \zeta} \operatorname{Im} [k_{eg}^2 \underline{r^s}(k_{\parallel}) + \zeta^2 \underline{r^p}(k_{\parallel})] e^{-2\zeta z}$$

- Em geral, o átomo também pode decair emitindo **ondas evanescentes.**

$$k_z = \begin{cases} \sqrt{k^2 - k_{\parallel}^2} =: \xi, & \text{se } k_{\parallel} \leq k, \\ i\sqrt{k_{\parallel}^2 - k^2} =: i\zeta, & \text{se } k_{\parallel} > k. \end{cases}$$

# METAESTABILIDADE DO ESTADO 2S DO ÁTOMO DE H

- A transição **2s – 1s** do átomo de H, em princípio, é uma transição **ressonante** devido ao **desvio Lamb**

$$\Gamma_o = \frac{|\mathbf{d}_{eg}|^2 \omega_{eg}^3}{3\pi\epsilon_o \hbar c^3}.$$



- Porém, a taxa de transição pela EE de um fóton entre os estados  $2s_{1/2}$  e  $2p_{1/2}$  é muito pequena.

# FÓRMULAS PARA A EEDF OMITIDAS

$$\gamma(\omega) = \frac{\pi}{4\epsilon_0^2 \hbar^2} \omega(\omega_{eg} - \omega) \sum_{i,j} \rho_i^{e_i}(\omega) \rho_l^{e_j}(\omega_{eg} - \omega) |\mathbb{D}_{ij}(\omega, \omega_{eg} - \omega)|^2.$$

- Para uma transição entre estados s:

$$\Gamma = \frac{\pi}{4\epsilon_0^2 \hbar^2} \sum_{kp, k'p'} \omega_k \omega_{k'} |D(\omega_k, \omega_{k'})|^2 |\mathbf{A}_{kp} \cdot \mathbf{A}_{k'p'}|^2 \delta(\omega_k + \omega_{k'} - \omega_{eg}),$$

$$\gamma(\omega) = \frac{\mu_0^2}{\pi \hbar^2} \omega^2 (\omega_{eg} - \omega)^2 \text{Tr}[\text{Im}\mathbb{G}(\omega) \cdot \text{Im}\mathbb{G}(\omega_{eg} - \omega)] |D(\omega, \omega_{eg} - \omega)|^2,$$

$$\frac{\gamma(\omega)}{\gamma_o(\omega)} = \frac{1}{3} \sum_i P_i(\omega) P_i(\omega_{eg} - \omega).$$